

1980

15 Б1014. Характеристика трехвалентного Fe, со-  
осаждающегося с гидратом оксида алюминия и его тер-  
мические превращения. Saraswat I. P., Vaj-  
rei A. C., Uma, Garg V. K., Prakash Nam,  
Sharma Vijay K. Characterization and thermal trans-  
formation of Fe(III) coprecipitated with aluminium hyd-  
roxide. «Proc. Indian Nat. Sci. Acad.», 1980, A46, № 2,  
140—148 (англ.)

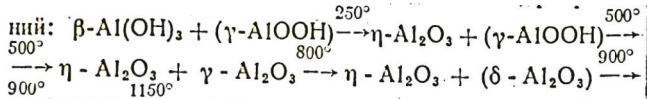
Методами ДТА, ТГА, дифференциальной ТГА, электронной микроскопии и ИК-спектроскопии изучены продукты соосаждения в системе  $\text{Fe(OH)}_3$ — $\text{Al(OH)}_3$  и продукты их термич. превращений. Смешивались свежеприготовленные 0,1 М р-ры сульфатов Fe (3) и Al с атомным соотношением  $\text{Fe/Al} = 3:97$ , гидраты осаждались путем добавления  $\text{NH}_4\text{OH}$  до pH 8,0. Осадки сушились при коми. т-ре и отжигались на воздухе при т-рах до  $1200^\circ$  в течение 24 ч. Обнаружено, что исходные осадки состоят из байерита  $\beta\text{-Al(OH)}_3$  в кач-ве основной фазы и небольшого кол-ва бёмита  $\gamma\text{-AlOOH}$  с ионами  $\text{Fe}^{3+}$ , расположеными в октаэдрич. узлах решетки. В процессе отжига продуктов осаждения наблюдается след. последовательность превраще-

разовые  
превращен.

Тт?

(+1)

2. 1981.05



Ионы Fe меняют свое расположение, занимая тетраэдрич. узлы в вакансиях решетки шпинельной структуры  $\eta$ - и  $\gamma$ - $\text{Al}_2\text{O}_3$ . Затем в процессе отжига при  $T$ -рах  $875$  и  $1200^\circ$  гексагон. координация становится характерной для  $\text{Fe}^{3+}$ , что соответствует образованию при этих  $T$ -рах  $\eta$ - и  $\theta$ -модификаций  $\text{Al}_2\text{O}_3$ . Основными промежут. фазами  $\text{Al}_2\text{O}_3$  являются быстро образующиеся  $\eta$ - и  $\theta$ -фазы, и их превращение в  $\alpha\text{-Al}_2\text{O}_3$  сдвинуто в область низких энергий, о чем свидетельствуют пики на кривых ДТА экзотермич. кристаллизации корунда при  $T$ -ре  $1090^\circ$ . Образование тв. р-ра окислов  $\text{AlFeO}_3$  не наблюдалось при всех стадиях превращений, однако встраивание ионов Fe в решетку  $\text{Al}_2\text{O}_3$  проявляется в разупорядочении структуры и локальном ослаблении материала, что проявляется в меньшей степени кристалличности фаз, образующихся на различных стадиях фазовых превращений, по сравнению с аналогичными фазами, формирующимися при отсутствии ионов  $\text{Fe}^{3+}$ .

А. Е. Вольпян

AlOOH

1980.

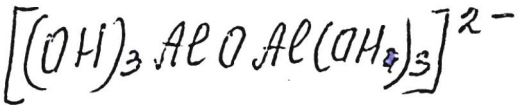
газовое  
небольшое

$T_{tr.}$ .

Saraswat J. P., et al.

Proc. Indian Nat. Sci.  
Acad., 1980, A 46, N2,  
140 - 148.

(ав.  $\text{Al}_2\text{O}_3$ ; I).



1980

V93: 193003e Determination of the dimerization constant of  
aluminate ion in alkaline sodium aluminate solutions.  
Wajand, Judit; Szabo, Zoltan Gabor; Ruff Imre; Burger,  
Kalman (Szervetlen Anal. Kem. Tansz., Eotvos Lorand Tudomanyegy, Budapest, Hung.). *Magy. Kem. Foly.* 1980, 86(8),  
339-45 (Hung). Sodium aluminate solns. with concns. similar to  
those used in the alumina industry were studied by Raman  
spectroscopy. Only monomeric  $[Al(OH)_4]^-$  and dimeric  $[(OH)_3Al-O-Al(OH)_3]^2-$  ions were found at 25° for solns. of 5.8 M NaOH.  
The formation const. of the dimeric is (estd.)  $5.2 \pm 1.8$ .

(Kodkazt.)

F. Tamas

E.A. 1980, 93 11-20

$\text{AlOH}^{2+}$       Compton 12845 / 1981.

$\text{Al(OH)}_2^+$       Beran S., et al.

Co-equilibrium  
(geochemical)

$(K_p)$

J. Phys. Chem., 1981,  
85, 1951-56.

Phys. characteristics of  
Zeo-lites ..

$\text{Al(OH)}_3$

1981

9 19 Б1525. Теплоты растворения гидрагиллита в натриевых алюминатных растворах. Чахальян О. Х., Пучков Л. В., Коненкова Т. Я. «Ж. общ. химии», 1981, 51, № 5, 969—972

Определены дифференциальные теплоты растворения гидрагиллита (I) при 85°С в растворах системы  $\text{Na}_2\text{O}$ — $\text{Al}_2\text{O}_3$ — $\text{H}_2\text{O}$  по разрезу для  $\text{Al(OH)}_3$  с отношением  $n_2/(n_2+n_1)=0,0809$  ( $n_2$  и  $n_1$  — числа молей  $\text{Na}_2\text{O}$  и  $\text{H}_2\text{O}$  соотв. в том числе в 30%-ном растворе  $\text{NaOH}$ ). Вычислены уд. интегральные теплоты растворения I в этих растворах, а также первая теплота растворения. Авторефедат

(44 зел.)

Х. 1981, N 19

1981

 $\text{Al}(\text{OH})_4^-$ 

1 Б1808. Определение термодинамических свойств гиббсита из данных по растворимости в растворах NaOH. Chang B.-T. Determination of thermodynamic properties of gibbsite from its solubility data in NaOH solutions. «Bull. Chem. Soc. Jap.», 1981, 54, № 7, 1960—1963 (англ.)

На основе теории Дебая—Хюкеля дан анализ эксперим. данных по р-римости  $\text{Al}(\text{OH})_3$  в водн. р-рах NaOH при ионной силе 0—8 в интервале т-р 40—170° с целью расчета термодинамич. св-в гиббсита. Для р-ции  $\text{Al}(\text{OH})_3 + \text{H}_2\text{O} = \text{H}^+ + \text{Al}(\text{OH})_4^-$  (1) найдена линейная зависимость  $\lg(K_s/a_w)$  от величины  $I^{1/2}(1+Ba_1I^{1/2})$  ( $K_s = m_{\text{H}} \cdot m_{\text{Al}}$ ,  $m$  — моляльность,  $a_w$  — активность воды,  $I$  — ионная сила,  $B$  и  $a_1$  — параметры теории Дебая—Хюкеля) в области умеренных значений  $I$ , позволяющая определять значения  $\lg K_s^0$  при  $I=0$ . Исходя из предположения, что размеры ионов  $\text{Al}(\text{OH})_4^- (a_1)$  и  $\text{OH}^- (a_2)$  одинаковы ( $a_1=a_2$ ) рассчитаны т-рные за-

 $K_c, \Delta H, \Delta G$ 

X. 1982, 19АБ, № 1.

вистимости констант равновесия; в интервале т-р 40—110°:  $\lg K_s^0 = -4064/T - 1,54$  и  $\lg K_s^0 = -4023/T - 1,65$ . Вычислены станд. энергии образования  $\Delta G^0 \text{Al(OH)}_4^-$  (−1302,5 кДж/моль) и теплота р-ции (1), равная 77,4—77,8 кДж. Для р-ции  $\text{Al(OH}_3\text{)} + \text{OH}^- \rightarrow \text{Al(OH)}_4^-$  (2) т-риая зависимость констант равновесия в том же интервале т-р описывается ур-ниями  $\lg K_r^0 = -1598/T + 4,10$  и  $K_r^0 = 1567/T + 3,98$ , теплота р-ции (2) равна 30,1—30,5 кДж. Для р-ров с  $I > 1,0$  наблюдаются положит. отклонение от линейной зависимости  $\lg K_s/a_w$ , что объясняется образованием комплексов, напр.,  $\text{Al}_2\text{O(OH)}_6^{2-}$  или дегидратацией  $\text{Al(OH)}_4^-$  с образованием ионов  $\text{AlO(OH)}_2^-$  и  $\text{AlO}_2^-$ . Аналогичные положит. отклонения обнаружены в системах  $\text{Ca(OH)}_2\text{--NaNO}_3\text{--H}_2\text{O}$  и  $\text{NiSO}_4\text{--CoSO}_4\text{--(NH}_4\text{)}_2\text{SO}_4\text{--H}_2\text{O}$ . В. Г. Васильев

Al<sub>2</sub>O<sub>3</sub>H

1981

(боемит)

K<sub>c</sub>, T<sub>r2</sub>,

6 Б1548. Определение термодинамических свойств боемита по его растворимости в растворах NaOH. Chang Byong-Tae. Determination of thermodynamic properties of boehmite from its solubility data in NaOH solutions. «Bull. Chem. Soc. Jap.», 1981, 54, № 9, 2579—2582 (англ.)

По лит. данным о р-римости боемита в р-рах NaOH при т-рах вплоть до 300° С с помощью расширенной формы теории Дебая—Хюкеля определены его термодинамич. св-ва в щел. области pH. При допущении равенства значений параметра размера иона для ионов OH<sup>-</sup> и Al(OH)<sub>4</sub><sup>-</sup> константа ионного произведения р-римости для боемита в пределах т-р 80—250° С описывается ур-нием  $\lg K = -2663/T - 5,71$  (случай 1) и  $\lg K = -2764/T - 5,45$  (случай 2). Путем сопоставления т-рной зависимости K для боемита и гиббсита найдена т-ра перехода между этими двумя гидратами алюминия, составляющая  $60 \pm 3^{\circ}$  С. По резюме

X. 1982, 19, N6.

ALDH  
ALDH<sup>+</sup>  
ALDH<sup>-</sup>

Access code CK 12818

1981

Davis D. P., et al.

J. Comput. Chem., 1981,  
2 (4), 433.

1H<sub>f</sub>



AlD<sub>2</sub>H

Oesterreicher 12518 1981

Davis L. P., et al.

$\Delta M_f^o$

J. Comput. Chem., 1981,  
2 (4), 433.



*AlO(OH)*

1981

198: 205224w Dissociation constants of aluminum hydroxide in aqueous solutions at high temperatures. Dubrovskii, I. Ya. (USSR). *Tr. Mosk. Energ. Inst.* 1981, 526, 43-9 (Russ). Dissocn. consts., were calcd. at 310 and 358° from distribution coeffs. of Al hydroxide (AlO(OH)) between boiling H<sub>2</sub>O and vapor. At 310°, the acid dissociation const. is  $1.98 \times 10^{-6}$  and the base dissociation const. is  $3.27 \times 10^{-6}$ . At 358°, these values are  $3.82 \times 10^{-6}$  and  $4.22 \times 10^{-7}$ , resp. Increasing temp. causes dissociation consts. to decrease.

*Kgucc;*

C. A. 1983, 98, N 24

$\text{AlOH}$

Lommel 127431

$\text{AlH}_2\text{O}_2$

~~Farber~~ Farber M., et al.

( $\text{AlH}_f$ )

— see series.

bimolecular

Faraday Symposium 8,

$\text{H}_2 + \text{O}_2$

N10, 1A - 6A

Mass spectrometer  
reactions in ...



Studies of  $\text{Al} + \text{H}_2\text{O}$

$\text{Al(OH)}_3 (K)$

1981

Байерит

21 Б3253. Константа растворимости и относительная термодинамическая устойчивость гидроокиси алюминия.  
Löslichkeitskonstanten und relative thermodynamische Stabilitäten von Aluminiumhydroxiden. G a m s j ä g e r H., M e g a l l a E. «Int. Leichtmetalltag., Leoben — Wien, June, 1981». Leoben, s. a., 214—215 (нем.)

pH-метрическим методом и из данных по измерению э. д. с. определена р-римость  $\text{Al(OH)}_3$  в водн. р-рах с ионной силой  $J=1,0$  ( $\text{NaCl} + \text{NaClO}_4$ ) в широком интервале pH. Константа р-римости ( $K$ )  $\gamma\text{-Al(OH)}_3$  (байериита) при  $25^\circ\text{C}$  и  $J=0$   $\lg K = 7,00 \pm 0,25$ ; значение станд. энталпии образования равно  $-2,75,53 \pm 0,35$  ккал/моль.

В. Г. Юркин

1152,8 ± 1,5 кДж/моль

X. 1984, 19, № 21

$\text{Al(OH)}_3$   
(гиббсит)

Омск 13488/1981

13 Б814. Таблицы термодинамических данных для некоторых фаз в системе  $\text{CaO}-\text{Al}_2\text{O}_3-\text{SiO}_2-\text{H}_2\text{O}$  при 101,325 кПа (1 атм) между 273,15 и 1800 К. На ас John L., Robinson Gilpin R., Hemingway B гисе S. Thermodynamic tabulations for selected phases in the system  $\text{CaO}-\text{Al}_2\text{O}_3-\text{SiO}_2-\text{H}_2\text{O}$  at 101.325 kPa (1 atm) between 273,15 and 1800 K. «J. Phys. and Chem. Ref. Data», 1981, 10, № 3, 575—669 (англ.)

Из лит. данных рассчитаны станд. термодинамич. данные (теплоемкость, энтропия, относит. энтальпия, энергия Гиббса образования из элементов и оксидов) фаз системы  $\text{CaO}-\text{Al}_2\text{O}_3-\text{SiO}_2-\text{H}_2\text{O}$  в интервале 273,15—1800 К и давл. 1 атм. Приведены данные для бемита, диаспора, гиббсита, каолинита и др. фаз.

Л. Г. Титов

1982, 19, N 13.

$\text{AlOH}^{2+}$

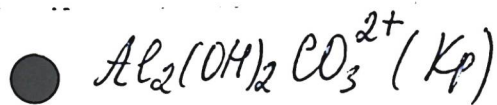
1981

$\text{Al}_3(\text{OH})_4^{5+}$

196: 58721j Equilibrium and structural studies of silicon(IV) and aluminum(III) in aqueous solution. 3. Potentiometric study of aluminum(III) hydrolysis and aluminum(III) hydroxo carbonates in 0.6 M sodium chloride. Oehman, Lars Olof; Forsling, Willis (Dep. Inorg. Chem., Univ. Umea, S-901 87 Umea, Swed.). *Acta Chem. Scand., Ser. A* 1981, A 35(10), 795-802 (Eng). Equil. between Al(III),  $\text{CO}_2$ , and  $\text{OH}^-$  were studied in 0.6 M NaCl medium at 25°. The measurements were performed as emf. titrns. by using different  $\text{CO}_2(\text{g})$ -Ar(g) mixts. of known compns. Data were explained with the binary complexes  $\text{AlOH}^{2+}$ ,  $\text{Al}_3(\text{OH})_4^{5+}$ , and  $\text{Al}_{13}\text{O}_4(\text{OH})_{24}^{7+}$  together with the ternary species  $\text{Al}_2(\text{OH})_2\text{CO}_3^{2+}$  and  $\text{Al}_3(\text{OH})_4\text{HCO}_3^{4+}$  (tentative structures). The equil. consts. with std. deviations are given. The equil.  $\text{CO}_2(\text{g}) + \text{H}_2\text{O} \rightleftharpoons \text{HCO}_3^- + \text{H}^+$  was studied in sep. titrns.

$K_p$ ;

(H)



C.A. 1982, 96 n8



1982

98: 22985a Thermodynamic and experimental analysis of the calcium oxide-aluminum oxide-sodium oxide-water system at 25-95°. Alekseev, A. I. (USSR). *Zh. Prikl. Khim. (Leningrad)* 1982, 55(11), 2502-6 (Russ). The solv. of  $3CaO.Al_2O_3.6H_2O$  ( $C_3AH_6$ ) in  $Na_2O$  was detd. at 25-95°. The equil. consts. and free energies of the reactions (1)  $Al(OH)_3(s) + OH^-(aq) \rightleftharpoons Al(OH)_4^-(aq)$  and (2)  $C_3AH_6 + 2OH^- = 3Ca(OH)_3 + 2Al(OH)_4^-$  were detd. as functions of temp. and ionic strength of the soln. The free energy of the reaction (2) decreases with increasing temp., indicating increasing solv. of  $C_3AH_6$  in the alkali solvent.

*Kp*

C. A. 1983, 98, N.Y.

1982

$\text{Al(OH)}_3$

6 Б915. Исследование методом дифференциальной калориметрии полимера  $\text{Al}_{13}\text{O}_4(\text{OH})_{28}(\text{H}_2\text{O})_8^{3+}$  и геля аморфного тригидроксида алюминия в водном растворе. Differential calorimetric study of the polymer  $\text{Al}_{13}\text{O}_4(\text{OH})_{28}(\text{H}_2\text{O})_8^{3+}$  and an amorphous aluminium trihydroxide gel in aqueous solution. Bottero J. Y., Partyka S., Fiessinger F. «Thermochim. acta», 1982, 59, 221—229 (англ.)

С помощью дифференциального калориметра, спектроскопии ЯМР  $^{27}\text{Al}$  и потенциометрич. Тт изучен гидролиз иона  $\text{Al}(\text{H}_2\text{O})_6^{3+}$  при отношениях  $[\text{NaOH}] / [\text{Al}]$  от 1 до 3. Из эксперим. данных вычислены для полимера  $\text{Al}_{13}\text{O}_4(\text{OH})_{28}(\text{H}_2\text{O})_8^{3+}$  (I) и геля аморф.  $\text{Al(OH)}_3$  величины  $-\Delta H$  (обр., 298,15 К), к-рые составили  $602 \pm 60,2$  и  $51 \pm 5$  кДж/моль соотв. С использованием лит. данных найдено для  $-\Delta G$  (обр., 298,15 К): I 13282,0, аморф.  $\text{Al(OH)}_3$  782,5 кДж/моль.

Р. Г. Сагитов

X.1983, 19, N 6

$\text{Al(OH)}_3$

1982

98: 41688x Differential calorimetric study of the polymer  $\text{Al}_{13}\text{O}_4(\text{OH})_{28}(\text{H}_2\text{O})_8^{3+}$  and an amorphous aluminum trihydroxide gel in aqueous solution. Bottero, J. Y.; Partyka, S.; Fiessinger, F. (Lab. Physicochim. Surf., ENSG, 54501 Vandoeuvre-les-Nancy, Fr.). *Thermochim. Acta* 1982, 59(2), 221-9 (Eng). The heat of formation at 298.15 K of the polymer  $\text{Al}_{13}\text{O}_4(\text{OH})_{28}(\text{H}_2\text{O})_8^{3+}$  and an amorphous Al trihydroxide gel was studied by using a differential calorimetric method, already developed for adsorption expts., and Al-27 NMR spectroscopy data.  $\Delta H_f$  "Al<sub>13</sub>" (298.15 K) = -602 ± 60.2 kJ/mol and  $\Delta H_f$  Al(OH)<sub>3</sub> (298.15 K) = -51 ± 5 kJ/mol. Free energies and entropies were also calcd.

$\Delta f H_f$ ,  $\Delta f G_f$ ,

C.A. 1983, 98, N6.

AlOOH(k)

1982

| 17 Б1316. Определение термодинамических свойств  
диаспора по данным о его растворимости в растворах  
NaOH. Chang Byong-Tae. Determination of ther-  
modynamic properties of diaspore from its solubility  
data in NaOH solutions. «Bull. Chem. Soc. Jap.», 1982,  
55, № 2, 613—614 (англ.)

На основании лит. данных о р-римости диаспора в  
водн. р-рах NaOH при т-рах 280, 300 и 325°C с  
использованием модифицированного расширенного  
ур-ния Дебая—Хюкеля получены ур-ния, связываю-  
щие состав равновесного водн. р-ра с его ионной си-  
лой, и т-риая зависимость ионного произведения р-ри-  
мости диаспора  $K_s^0 = a_{\text{Al}} \cdot a_{\text{H}} / a_w^2$  (в согласии с р-цией  
р-рения  $\text{AlOOH}_{\text{тв}} + 2\text{H}_2\text{O} = \text{Al(OH)}_4^- + \text{H}^+ = -1367/T - 8,67$ )  
Л. В. Арсеенков

X. 1982, 19, N 17.

$\text{Al(OH)}_4^-$  D.M.M. 14477 1982

97: 99338d The Gibbs free energy of formation of the tetrahydroxyaluminate(1-) ( $\text{Al(OH)}_4^-$ ) ion at elevated temperatures. Chang, Byong Tae (Fac. Sci, Korea Univ., Kodaira, Japan 187). *Bull. Chem. Soc. Jpn.* 1982, 55(6), 1949-50 (Eng). The Gibbs free energy of the formation of the  $\text{Al(OH)}_4^-$  [14485-39-3],  $\Delta G_f$ , was detd. from the solv. data of  $\text{Al}_2\text{O}_3$  hydrates at  $\leq 300^\circ$ . The value is -1305.3 kJ/mol at  $25^\circ$ , and it decreases almost linearly with an increase in the temp. Its temp. dependence at  $25$ - $300^\circ$  can be expressed as follows:  $\Delta G_f = -1152.7 - 3.318T - 5.64 \times 10^{-4}T^2 + 1.202T \log T$ .

$\Delta_f G^\circ$

C.A. 1982, 97, 1112

$\text{Al(OH)}_4^-$  дтт. 14474 1982

23 Б840. Энергия Гиббса образования иона

$\text{Al(OH)}_4^-$  при повышенных температурах. Chang  
Byoung-Tae. The Gibbs free energy of the formation  
of the  $\text{Al(OH)}_4^-$  ion at elevated temperatures. «Bull.  
Chem. Soc. Jap.», 1982, 55, № 6, 1949—1950 (англ.)

Для вычисления энергии Гиббса образования ( $\Delta G_f^0$ )  
иона  $\text{Al(OH)}_4^-$  (I) при повышенных т-рах в водн. р-ре  
были использованы эксперим. данные о ПА гиббсита  
(II) и бемита (III) в щел. р-рах до 300° С. Константы  
равновесия процессов II +  $\text{H}_2\text{O}$  (ж.) = I (р-р) +  $\text{H}^+$  (р-р)  
(1) и III + 2 $\text{H}_2\text{O}$  (ж.) = I (р-р) +  $\text{H}^+$  (р-р) (2) выражают-  
ся зависимостями  $\lg K_1^0 = -22,11 - 3,368 \cdot 10^{-3}T -$   
 $-5835,9/T + 6,390 \ln T$  ( $T = 313 - 443$  К) и  $\lg K_2^0 =$   
 $= -29,64 - 8,149 \cdot 10^{-3}T - 2263,0/T + 4,372 \ln T$ . ( $T = 353 -$   
 $-573$  К). Для воды величины  $\Delta G_f^0$  при повышенных  
т-рах оценены по принципу соответствия Крисса — Коб-  
бла, а для остальных реагентов использованы лит. дан-

$\Delta f_f;$

X. 1982, 19, N 23

ные о т-рной зависимости теплоемкости. Окончательные результаты расчетов  $\Delta G_f^0$  I могут быть представлены уравнением для интервала 298—573 К  $\Delta G_f^0$  I (р-р, кДж/моль) =  $-1152,7 - 3,318 T + 5,64 \cdot 10^{-4}T^2 + 1,202\lg T$ .

П. М. Чукров



$\text{Al(OH)}_3$

1982

Hovis Guy L.

1 Нрасік  
Amer. Miner., 1982,  
67, NG-10, 950-955.

(сес.  $\text{SiO}_2$  (кварц); I)

AlOOH

Он 39023

1982

7 Б923. Свободные энергии образования байерита, нордстрандита,  $\text{Al(OH)}^{2+}$  и  $\text{Al(OH)}_2^+$ , подвижность алюминия и образование бокситов и латеритов. Gibbs free energies of formation for bayerite, nordstrandite,  $\text{Al}(\text{OH})^{2+}$ , and  $\text{Al}(\text{OH})_2^+$ , aluminum mobility, and the formation of bauxites and laterites. Hemingway B. S., «Adv. Phys. Geochem. Vol. 2». New York e. a., 1982, 285—316 (англ.)

есть К/К!

Δf

На основе крит. анализа лит. данных и собств. исследований рекомендованы  $\Delta G$ (обр.) соединений Al, входящих в состав пород, богатых глинозёмом. Определяющее значение в образовании бокситовых латеритов играют процессы низкот-рного гидролиза р-ров Al, приводящие к накоплению в коре выветривания гидроксидов Al. Для понимания направления процессов разложения алюмосиликатов необходимо (1) уточнение  $\Delta G$ (обр.)  $\text{Al}^{3+}$ ,  $\text{Al}(\text{OH})^{2+}$ ,  $\text{Al}(\text{OH})_2^+$ , и  $\text{Al}(\text{OH})_4^-$ ; (2) установление последовательности р-ций в системе Al—Si—O—Н, приводящих к образованию метастабильных и стабильных форм соединений при  $T < 373$  К. Упрощенная схема последовательности выделения в-

Х. 1983, 19  
№ 7 (72)

при гидролизе Al-солей в закрытой системе: аморфный гельпсевдобёмит—байерит—гиппсит (возможно присутствие нордстрандита). Рекомендованы  $-\Delta G_{298}$  в кДж/моль:  $\text{Al}^{3+}$   $498,8 \pm 4,0$ ;  $\text{Al(OH)}^{2+}$   $701,4 \pm 4,0$ ;  $\text{Al(OH)}_2$   $903,4 \pm 4,0$ ;  $\text{Al(OH)}_4$   $1305,0 \pm 1,3$ .  $-\Delta G_{298}$  различных форм  $\text{Al(OH)}_3$  в кДж/моль составляют: байерит  $1149,0 \pm 2,0$ , нордстрандит  $1151,5 \pm 2,0$ , гиппсит  $1154,9 \pm 1,2$ , мелкокрист. гиппсит  $1144,5 \pm 3,0$  и осажденный гель  $\text{Al(OH)}_3$   $1140,4 \pm 3,0$ . Выяснена роль pH среды при образовании различных форм  $\text{Al(OH)}_3$  и продуктов гидролиза  $\text{Al}^{3+}$ . Минимум конц-ии Al приходится на область pH 6—7. Указано на каталит. роль нек-рых высокомолек. орг. в-в в образовании гиппсита при низких pH, и на ингибирующее действие низкомолек. в-в при осаждении гидроксидов Al. Предполагается в дальнейшем изучение термодинамич. и структурных св-в соединений Al в р-рах при  $T > 373$  К с целью выяснения роли Al в метасоматич. процессах. Библ. 81.

Л. А. Резницкий

HALOH Jordan Kenneth D., 1982  
Kurtz Henry A.

Metal Bond. and Interact.

High Temp. Syst. Emphasis

Alkali Metals. Symp. 181st  
Meet. Amer. Chem. Soc., Atlan-  
ta, Ga, March 31-Apr. 3, 1981.

$\Delta H_f$ , Washington, D.C., 1982,  
377-393. (e.g. Li...OH<sub>2</sub>; II)

AlOOH

(бёмит)

1982

9 Б927. Механизм образования бёмита при старении осадка. Boehmite formation mechanism in precipitate ageing. Krivoguchko O. P., Zolotovskii B. P., Plyasova L. M., Buuapov R. A., Zaikovskii V. I. «React. Kinet. and Catal. Lett.», 1982, 21, № 1—2, 103—108 (англ.; рез. рус.)

С помощью гидротермальной обработки осадков  $\text{Al}(\text{OH})_3$  в автоклаве при т-рах 373 и 473 К изучены фазовые изменения при старении. Образцы изучены с помощью термич. анализа, электронной микроскопии и рентгенофазового анализа. Фазовый состав продуктов старения гидроксидов Al при 473 К не зависит от pH осаждения, и в этих условиях всегда образуется бемит (I). Морфологич. структура I определяется как фазовым составом свежеосажденных гидроксидов Al, так и pH их осаждения. Установлена возможность образования игольчатых кристаллов I с шириной, совпадающей со значением параметра  $b = 12.3 \text{ \AA}$  его элементарной ячейки.

Л. Г. Титов

X. 1983, 19, n 9

$Al(OH)_3(L.M.)$

1982

Robinson G. R., et al.

U. S. Dep. Interior Geolog.  
Survey, OPEN-File Re-  
port 83-79, 1982, p. 136.

200-1000K

Mg%

составы 4.1. Хогаковского

136.

AL 00H(k,av)

1982

Robinson G. R. et al.,

U. S. Dep. Interior Geolog

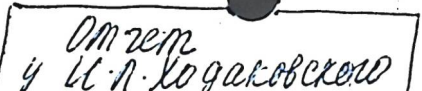
200-1250K

n.q.

Survey, OPEN-File Re-

port 83-49, 1982, p. 130,

132, 134.



130, 132, 134

*Al(OH)<sub>3</sub>*

1983

> 2 Б3196. Термогазовolumетрическое изучение фазовых превращений и кинетики процесса старения аморфного гидроксида алюминия. Абдурахманов Р. А. «Изв. вузов. Химия и хим. технол.», 1983, 26, № 8, 942—945

Исследованы процессы старения аморф. гидроокиси алюминия под водой. Показано, что процессы старения в начальные стадии протекают с большой скоростью. При низких т-рах образуется байерит, при высоких (до 90° С) — смесь байерита с бемитом. Процессы старения аморф. гидроокиси алюминия протекают в диффузионной области и описываются обобщенным кинетич. ур-нием Ерофеева и ур-нием Яндера. Автореферат

*Фу. Прев.*

*ж. 1984, 19, № 2*

AL(OK)n

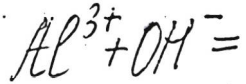
[Om. 17461]

1983.

Barnum D.W.,

85B°;

Inorg. Chem., 1983,  
22, N16, 2297-2305.



[Om. 27505.]

1983

Campbell P. F. C. et al.,

Anal. Chem., 1983, 55,  
2246.

Kp;

$\text{Al}_2\text{O}_3 \cdot \text{H}_2\text{O}$

$\text{Al}_2\text{O}_3 \cdot 3\text{H}_2\text{O}$

термохимия

от 17.7.84 1983

2 Б3040. Термохимия глинозема и тригалидов алюминия. Thermochemistry of the aluminas and aluminum trihalides. Сагпiglia Stephen C. «J. Amer. Ceram. Soc.», 1983, 66, № 7, 495—500 (англ.)

Предложена согласованная система стандартных свободных энергий образования  $\Delta G$  гиббсита  $\text{Al}_2\text{O}_3 \cdot 3\text{H}_2\text{O}$ , байерита  $\text{Al}_2\text{O}_3 \cdot 3 \text{H}_2\text{O}$ , бёмита  $\text{Al}_2\text{O}_3 \cdot \text{H}_2\text{O}$ , диаспора  $\text{Al}_2\text{O}_3 \cdot \text{H}_2\text{O}$ , а также модификаций  $\gamma$ -, К-,  $\delta$ - и  $\alpha\text{-Al}_2\text{O}_3$ , составленная в результате крит. анализа лит. данных для различных т-рных интервалов в пределах устойчивости фаз. Лит. данные по термодинамич. св-вам  $\text{AlF}_3$ ,  $\text{AlCl}_3$ ,  $\text{H}_2\text{O}$ , HF и HCl использованы для термодинамич. расчетов р-ций различных модификаций глинозема с р-рами к-т. Проведены оценки  $\Delta G$   $\chi\text{-Al}_2\text{O}_3$  и  $\eta\text{-Al}_2\text{O}_3$  и составлена диаграмма  $\Delta G(T)$  дегидратации различных гидратов  $\text{Al}_2\text{O}_3$ . Проведенные расчеты имеют значение для разработки теор. основ керамич. пром-сти. Библ. 44.

Л. А. Резницкий

2.1984, 19, № 2

(+2)

ALDOOH num

[Om. 17444]

1983

Al(OH)3

Carniglia S.C.,

163,

Mexico.

J. Amer. Ceram. Soc.,

1983, 66, N7, 495-500.

$\text{Al(OH)}_3$

от. 19064

1983

12 Е608. Две фазы  $\text{Al(OH)}_3$  высокого давления и  
их вклад в систему  $\text{Al}-\text{Al}_2\text{O}_3-\text{H}_2\text{O}$ . Two high-pressure  
 $\text{Al(OH)}_3$  phases and contributions to the  $\text{Al}-\text{Al}_2\text{O}_3-\text{H}_2\text{O}$   
system. Dachille Frank, Gigl Paul. «High  
Temp.—High Pressures», 1983, 15, № 6, 657—675 (англ.)

фазы высокого  
давления

о. 1984, 18, N 12

*Al(OH)<sub>3</sub>*

*ОЖ. 19064*

*1983*

18 Б3145. Две фазы типа  $\text{Al}(\text{OH})_3$ , образующиеся при высоком давлении и вклад в систему  $\text{Al}-\text{Al}_2\text{O}_3-\text{H}_2\text{O}$ . Two high-pressure  $\text{Al}(\text{OH})_3$  phases and contributions to the  $\text{Al}-\text{Al}_2\text{O}_3-\text{H}_2\text{O}$  system. Dachille F., Gigl P. «High Temp.—High Pressures», 1983, 15, № 6, 657—675 (англ.)

Система  $\text{Al}_2\text{O}_3-\text{H}_2\text{O}$  в области т-р 20—450° С и давл. до 60 кбар изучена с помощью рентгеновского, микроскопич., термич., пикнометрич. и ИК-спектроскопич. методов анализа. Зафиксировано образование двух новых полимерных модификаций  $\delta\text{-Al}(\text{OH})_3$  и  $\beta'\text{-Al}(\text{OH})_3$ . Фаза  $\delta$  образуется при обработке любых модификаций  $\text{Al}(\text{OH})_3$  и смесей бёмита и корунда с  $\text{H}_2\text{O}$  и устойчива при т-ре  $\geq 200^\circ\text{C}$  и давл.  $> \sim 17$  кбар; фаза  $\beta'$  образуется при обработке гиббсита при давл.  $> 15$  кбар и т-ре до 210° С и существует только в равновесии с гиббситом. Фаза  $\delta$  характеризуется ромбич. решеткой с параметрами  $a = 5,141$ ;  $b = 5,063$ ;  $c = 7,259\text{ \AA}$ ; а фаза  $\beta'$  — монокл. с параметрами  $a = 5,067$ ;  $b = 8,671$ ;  $c = 9,419\text{ \AA}$ ;  $\beta = 90,48^\circ\text{C}$ . При нагреве до 430°  $\delta\text{-Al}(\text{OH})_3$  переходит в  $\gamma\text{-Al}_2\text{O}_3$ . Построена диаграмма давл.—т-ра для системы  $\text{Al}_2\text{O}_3-3\text{H}_2\text{O}$ .

Л. В. Шведов

*X. 1984, 19, N 18*

$\text{Al(OH)}_3$   
 $\text{AlOOH}$

1983

bout R., Dandurand J.-L.,  
Trav. Com. int. étude bauxite,  
alumine et alum., 1983, 13,  
N 18, 117-125.

$\text{Al}_2\text{O}_3 - \text{H}_2\text{O}$

Gout

1983

$\text{Al}(\text{OH})_3$

$\text{AlOOH}$

(+1)

Def 298/15;

ГБ3119. Фазовые равновесия в системе  $\text{Al}_2\text{O}_3 - \text{H}_2\text{O}$ .  
Phase equilibria in the system  $\text{Al}_2\text{O}_3 - \text{H}_2\text{O}$ . Gout R.,  
Dandurand J. L. «Trav. Com. int. étude bauxite, alu-  
mine et alum.», 1983, 13, № 18, 117—125 (англ.; рез.  
серб.-хорв.)

На основе собственных эксперим. данных и лит.  
источников рассчитаны свободные энергии образования  
 $\Delta G_f^0,_{298,15}$  диаспора, корунда, бёмита, байерита и гиб-  
осита, равные —914,0; —1568,3; —917,1; —1158,1;  
—154,9 кДж/моль соотв. Рассчитаны фазовые диаграм-  
мы между различными оксидами и гидроксидами алю-  
миния в координатах «давл. — т-ра» или «т-ра — актив-  
ность  $\text{H}_2\text{O}$ ».

Л. Г. Титов

X. 1987, 19, n1

АЛООН

1984

9 E215. Тепловое расширение боэмита. Аномалия вблизи 560 К, обусловленная нестехиометрической водой. Thermal expansion of boehmite an anomaly near 560 K due to non-stoichiometric water. Вегаг J. F., Grebille D., Gregoire P., Weigel D. «J. Phys. and Chem. Solids», 1984, 45, № 2, 147—150 (англ.)

Тепловое расширение AlOOH (I) исследовано в емкостном дилатометре в интервале т-р от 78 до 650 К. Обнаружена значительная анизотропия коэф. теплового расширения (КТР) и аномалии в температурной зависимости КТР вблизи 560 К. Аномалия выражается в уменьшении всех периодов решетки с ростом т-ры. Особенности теплового расширения I ассоциируются с наличием двух стехиометрич. фаз и водородных связей вдоль оси *b*. Исследования в диффер. сканирующем калориметре показали, что существуют два термич. эффекта в районе 560 К. Первый, изотермический, эф-

тепловое  
расширение

cf. 1984, 18, № 9

фект относится к перестройке структуры, характеризующейся уменьшением периода с и перегруппировкой молекул воды в метастабильную систему в плоскости *ac*. Второй, эндотермический эффект ассоциируется с потерей нестехиометрич. воды и сжатием решетки в направлении, перпендикулярном слоям вдоль оси *b*. На основе полученных данных обсуждается механизм вхождения воды в структуру I. А. П. Рыженков

$\text{Al(OH)}_3$

1983

9 E547. Две фазы высокого давления  $\text{Al(OH)}_3$  и рассмотрение системы  $\text{Al}-\text{Al}_2\text{O}_3-\text{H}_2\text{O}$ . Two high-pressure  $\text{Al(OH)}_3$  phases and contributions to the  $\text{Al}-\text{Al}_2\text{O}_3-\text{H}_2\text{O}$  system. Frank Dachille, Paul Gigl. «High Temp.—Nigh Pressures», 1983, 15, № 6 (англ.)

Проведено исследование системы  $\text{Al}_2\text{O}_3-\text{H}_2\text{O}$  в интервале т-р 20—450°С и давлений 0—60 кбар. Высокие давления создавались в аппарате типа «наковальни». После термобарич. обработок образцы изучались методами рентгеновской дифракции, абсорбционного спектрального и термич. анализов, измерения плотности. Обнаружены две новые ( $\delta$  и  $\beta'$ ) полиморфные модификации  $\text{Al(OH)}_3$ . Фаза  $\delta-\text{Al(OH)}_3$  обнаруживалась при обработке давлением самых разных исходных составов. Образование  $\beta'-\text{Al(OH)}_3$  наблюдалось только при низких т-рах из  $\alpha-\text{Al(OH)}_3$ , при этом превращение носило незавершенный характер. Построена равновесная  $T-P$  диаграмма для состава  $\text{Al}_2\text{O}_3-3\text{H}_2\text{O}$ . Анализ полученных результатов показал, что взаимодействие образцов с окружающей средой может сильно влиять относительную стабильность полиморфных модификаций таких соединений, как  $\text{AlOOH}$  и  $\text{Al(OH)}_3$ . И. А. Корсунская

полиморфн.  
модификац.

φ. 1984, 18, № 9

1984

 $[Al(H_2O)_6]^{3+}$  (aq)

22 Б3267. Изучение гидролиза алюминия методом ядерного магнитного резонанса алюминия-27. Часть 6. Гидролиз в присутствии ацетата натрия. Aluminum-27 nuclear magnetic resonance studies of the hydrolysis of aluminium(III). Part 6. Hydrolysis with sodium acetate. Akitt J. W., Milić Nikola B. «J. Chem. Soc. Dalton Trans.», 1984, № 5, 981—984 (англ.)

Методом ЯМР  $^{27}Al$  исследован гидролиз  $Al(3+)$  в присутствии ацетата  $Na$  (I). С этой целью при  $25^{\circ}C$  измерены спектры ЯМР  $^{27}Al$  водн. р-ров, содержащих  $0,5\text{ M } AlCl_3$  и варьируемые кол-ва I. Установлено, что при добавлении ацетат-ионов к р-ру  $AlCl_3$  происходит их протонирование сильной к-той  $\underline{[Al(H_2O)_6]^{3+}}$ , к-рая сама полимеризуется с образованием димерного катиона  $[(H_2O)_4Al(\mu-OH)_2Al(H_2O)_4]^{4+}$ . Отмечено, что указанный димерный катион является единственным обнаруженным продуктом гидролиза. Не получено доказательств присутствия в р-ре полимерного катиона  $[Al_{13}(OH)_{32}]^{7+}$ . Найдено, что при соотношениях  $[MeCO_2^-]/[Al^{3+}] \geq 1,5$  ацетатные группы начинают при-

образование

X.1984, 19, N 22

соединяться к димерному катиону с образованием комплексного иона. Оценены хим. сдвиги димерного катиона и его комплекса с ацетат-ионом, равные соотв.  $38 \pm 2$  и  $3,27$  млн. д. Предположено, что указанный комплекс является исходным в-гом для образования  $[Al_2(OH)_2](MeCO_2)_4$ , к-рый, как известно, выпадает в осадок из водн. р-ров ацетата алюминия. Установлено, что добавление HCl к исследованным р-рам приводит к изменениям ширин линий в спектрах ЯМР  $^{27}Al$ . Отмечено, что наблюдаемый эффект позволяет оценить скорости протекающих обменных процессов.

поло  
чи'

$\gamma$ -AlOOH

1984

15 Б2012. Получение и характеристика волокнистого бёмита и  $\gamma$ - $\text{Al}_2\text{O}_3$ . Preparation and characterization of fibrillar boehmite and  $\gamma$ - $\text{Al}_2\text{O}_3$ . Brusasco R., Gnessi J., Tatiač C., Baglio J., Dwight K., Wold A. «Mater. Res. Bull.», 1984, 19, № 11, 1489—1496 (англ.)

Взаимодействием металлич. Al с водн. р-ром  $\text{AlCl}_3$  при  $80^\circ\text{C}$  (ат. отношение  $\text{Al} : \text{Cl} = 2 : 3$ ) с послед. 10-кратным разбавлением р-ра, обработкой в пирексовой капсуле; помещенной в стальной автоклав при  $160^\circ\text{C}$  в течение 40 час., отмыvkой избытком  $\text{BiOH}$  и высушиванием в вакууме получен волокнистый  $\gamma$ -AlOOH (I). I идентифицирован методами рентгенофазового анализа (приведены значения  $I$  и  $2\theta$ ), электронной микроскопии и ИК-спектроскопии. Методами ТГА и рентгенофазового анализа установлено, что при нагревании при  $400^\circ\text{C}$  в течение 72 ч I переходит в  $\gamma$ - $\text{Al}_2\text{O}_3$ .

М. Б. Варфоломеев

X. 1985, 19, N 15

*γ-AlOOH*

1984

13 Б3124. Исследование термического разложения гидратированного оксида алюминия. Investigation of thermal decomposition of hydrated aluminium oxide. Glinka A., Pacewska B., Michalowski S. «J. Therm. Anal.», 1984, 29, № 5, 953—957 (англ.; рез. нем., рус.)

С помощью ДТА, ТГА, РФА и масс-спектрометрии изучено термич. разл. гидратированного  $\text{Al}_2\text{O}_3$  (I). Образцы I получены отмыкой основного сульфата алюминия — аммония от сульфатов при 373 К. Изучены свежеосажденные и состарившиеся образцы I. Установлено, что свежеосажденный гель I через несколько дней кристаллизуется с образованием бемита ( $\gamma\text{-AlOOH}$ ) и байерита [ $\alpha\text{-Al(OH)}_3$ ]. Показано, что разл. гидратированных образцов I происходит в две стадии при 573 и 733 К с образованием безводн.  $\alpha$ -I, причем промежут. продуктом является бемит. Т-ра разл. бемита зависит от размера частиц и степени кристалличности образцов. Л. Г. Титов

*тит-ра  
Радиолин.*

X. 1985, 19, N/3.

AP/04)-Om. 23459 1984

Marcus Y., Loewenschuss A.,

5<sup>1</sup>, Ann. Rept. Progress Chemistry,  
Section C, Physical Che-  
mistry, 1984, C81, 81-135,  
Chem. Soc. (London).

AlOOH

1984

(Tz)

100: 162711t Use of IR spectroscopy during the study of phase transformations of boehmite. Mardilovich, P. P.; Trokhimets, A. I.; Zaretskii, M. V. (USSR). *Zh. Prikl. Khim.* (Leningrad) 1984, 57(3), 409-13 (Russ). Dehydration of boehmite ( $\gamma$ -AlOOH) was studied by x-ray-phase anal. and IR spectroscopy. The mechanism of the phase transformations of  $\gamma$ -AlOOH and the temp. ranges of the existence of individual phases were elucidated. The usefulness of IR spectroscopy in studying the phase transformations of Al hydroxides, in identifying individual forms of  $\text{Al}_2\text{O}_3$ , and detg. the degree of their single phase nature illustrated. IR spectroscopy is more sensitive in detg. the changes from the low-temp.  $\gamma$ - $\text{Al}_2\text{O}_3$  to the high-temp.  $\delta$ - and  $\theta$ - $\text{Al}_2\text{O}_3$ , while the x-ray phase anal. is more preferable in detecting the  $\alpha$ -form of the oxide.

C.A. 1984, 100, N 20

$\gamma$ -AlOOH

1984

15 Б3129. Применение ИК-спектроскопии при исследовании фазовых превращений бемита. Мардилович П. П., Трохимец А. И., Зарецкий М. В. «Ж. прикл. спектроскопии», 1984, 40, № 3, 409—413 (рез. англ.)

Методами РФА и ИК-спектроскопии исследована дегидратация бемита ( $\gamma$ -AlOOH). Уточнены схемы фазовых превращений  $\gamma$ -AlOOH и т-рные интервалы существования отдельных фаз. Проиллюстрированы широкие возможности метода ИК-спектроскопии при исследовании фазовых превращений гидроксидов алюминия, при идентификации индивидуальных форм  $Al_2O_3$  и определении степени их монофазности. Показано, что ИК-спектроскопия более чувствительна при выяснении перехода низкот-рного  $\gamma$ - $Al_2O_3$  в высокот-рные  $\delta$ - и  $\theta$ - $Al_2O_3$ , а рентгенофазовый анализ предпочтительнее при выявлении  $\alpha$ -формы оксида.

Резюме

фильм № 46

Х. 1984, 19, N 15.

$\text{Al(OH)}_4^-$

(Om. dd 703)

1985

104: 40690x Determination of stability constants of tetrahydroxyaluminate(1-) and tetrahydroxygallate(1-) from sorption data for Al(III) and Ga(III) on ferric oxide. Artyukhin, P. I. (Inst. Neorg. Khim., Novosibirsk, USSR). *Izv. Sib. Otd. Akad. Nauk SSSR, Ser. Khim. Nauk* 1985, (6), 100-3 (Russ). A graphical method is proposed for calcg. stability consts. of neg. charged hydroxo complexes from sorption data on metal oxides or hydroxides. Stability consts. obtained for  $\text{Al(OH)}_4^-$  and  $\text{Ga(OH)}_4^-$  at 18-20° are  $\log \beta_4 = 33.6$  and 38.1, resp.

(Kmas.)

④  $\text{Ga(OH)}_4^-$

C.A. 1986, 104, N6

Оксиды Al

1985

$Al_2O_3 \cdot H_2O$

Бемит (I)  
тн

18 Б3113. Термическая устойчивость оксидов алюминия, полученных из геля. Thermal stability of aluminium oxides prepared from gel. Dwivedi R. K., Gonda G. «J. Mater. Sci. Lett.», 1985, 4, № 3, 331—334 (англ.)

С помощью рентгенографии и сканирующей электронной микроскопии изучены образцы, полученные при термич. разл. геля гидроксида алюминия. Гель был получен гидролизом втор-бутилоксида алюминия в воде при 85—95° С с пептизирующим агентом—конц. HCl при перемешивании в течение 3,5 ч. Полученный гель высушивали при коми. т-ре в течение 48 ч и при 60° С в течение 120 ч, после чего подвергали термообработке при 120, 200, 300, 400, 500, 600, 700, 800, 900, 1000 и 1200° С. Выявлена схема термич. разл. геля: высу-  
шевший гель (аморф. бемит)  $\xrightarrow{200-300^{\circ} C}$   $\gamma-Al_2O_3$  (I)-

$\xrightarrow{700-800^{\circ} C}$   $\xrightarrow{1000-1200^{\circ} C}$

(аморф.)  $\xrightarrow{\delta-I}$  (аморф.)  $\xrightarrow{\alpha-I}$  (крист.).

Л. Г. Титов

X. 1985, 19 N 18.

1985

АЛОХ

З Б3062. Масс-спектрометрическое исследование высокотемпературных реакций оксида алюминия с водородом, хлором и хлористым водородом. Энталпии образования молекул  $\text{AlOH}$  и  $\text{ClAlO}$ . Mass spectrometric investigation of high temperature reactions of alumina with hydrogen, chlorine and hydrogen chloride. Enthalpies of formation of  $\text{AlOH}$  and  $\text{ClAlO}$  molecules. Gorokhov L. N., Milushin M. I., Emelyanov A. M., Chekhovskoi D. V. «Adv. Mass Spectrom., 1985. 10th Int. Conf., Swansea, 9—13 Sept., 1985. Pt B». Chichester, 1986, 1029—1030 (англ.)

С помощью масс-спектрометра, оборудованного Мощеффузионной ячейкой, в к-рую помещали  $\text{Al}_2\text{O}_3$  и напускали  $\text{H}_2$ ,  $\text{Cl}_2$  или  $\text{HCl}$ , в интервале т-р 2000—2400 К измерены константы равновесия газофазных р-ций  $\text{Al}_2\text{O} + \text{H} = \text{AlOH} + \text{Al}$ ,  $2\text{AlO} + \text{H} = \text{AlOH} + \text{Al} + \text{O}$ ,  $\text{AlO} + \text{AlCl} = \text{ClAlO} + \text{Al}$  и  $\text{Al}_2\text{O} + \text{Cl} = \text{ClAl} + \text{Al}$ . По З-му закону рассчитаны  $\Delta H^\circ$  этих р-ций и с привлечением

КР, диф;

(4) 

X. 1987, 19, N 3.

лит. данных  $\Delta_f H^\circ$  для молекул AlOH и ClAlO:  $-184 \pm 15$  и  $-272 \pm 20$  кДж/моль. Найдены верхние пределы  $K_p$  для газофазных р-ций  $2\text{AlOH} = \text{Al(OH)}_2 + \text{Al}$  и  $2\text{Al}_2\text{O} + 2\text{H} = \text{Al(OH)}_2 + 3\text{Al}$ :  $1,3 \cdot 10^{-3}$  и  $8,0 \cdot 10^4$ , чему соответствует  $\Delta_f H^\circ [\text{Al(OH)}_2, g, 0] \geq -585$  кДж/моль. Измерены Пт ионизации AlOH и ClAlO:  $8,35 \pm 0,3$  и  $10,3 \pm 1$  эВ, соответственно.

Б. В. Чепик

КОЛ

$\text{Al(OH)}_2$

1985

Mileshin M. I.,  
Emelyanov A. M., et al.

$\Delta_f H^\circ$ ; Mass-Spektrom. Khim.  
Kinet. 1985, 320-30.

(ccu.  $\text{AlOH}(r); T$ )

$\text{AlOH}(r)$

1985

107: 47106g. Mass spectrometric study of interaction of aluminum oxide with hydrogen, chlorine, and hydrogen chloride. Milushin, M. I.; Emel'yanov, A. M.; Gorokhov, L. N. (Int. Vys. Temp., Moscow, USSR). *Mass-Spektrom. Khim. Kinet.* 1985, 320-30 (Russ). Edited by Tal'roze, V. L. Nauka: Moscow, USSR. Several methods were used to det. the heats of formation of  $\text{AlOH(g)}$ ,  $\text{Al(OH)}_2\text{(g)}$  and  $\text{AlClO(g)}$ . The recommended values are (kJ/mol):  $+184.0 \pm 0.15$ , -585, and  $-272.0 \pm 20$ , resp.

( $\Delta_f H$ )

$\text{Al(OH)}_2$ ,  $\text{AlClO(r)}$

(f2) ~~18~~



C.A. 1987, 107, N 6

Ugropukcs Al

1985

J. 102: 173664x Description of the shape of thermoanalytical curves. Part 1. Empirical parameters for the characterization of peaks in differential scanning calorimetry. Pokol, Gyorgy; Gal, Sandor (Inst. Gen. Anal. Chem., Tech. Univ. Budapest, 1521 Budapest, Hung.). *Anal. Chim. Acta* 1985, 167, 183-92 (Eng). Thermoanal. curves of the deriv. type can be described by using empirical parameters as properties of the peak shape, including the temps. at characteristic points of the peak, temp. differences, math. moments, etc. The reproducibility of differential scanning calorimetric curves of the thermal decompr. of Al hydroxide is evaluated on the basis of these parameters. The importance of correct and consistent choice of baseline is demonstrated.

(kanopukcs)

c.A.1985, 102, n20

$\text{Al(OH)}_3$

1985

18 Б3088. Описание вида термоаналитических кривых. 1. Эмпирические параметры для характеристики пиков в дифференциальной сканирующей калориметрии. Description of the shape of thermoanalytical curves. I. Empirical parameters for the characterization of peaks in differential scanning calorimetry. Pokol György, Gál Sándor. «Anal. chim. acta», 1985, 167, 183—192 (англ.)

На примере термич. разл. гиббсита  $\text{Al(OH)}_3$  (I) рассмотрено описание кривых ДСК, произведен расчёт кривых ДСК для разл. I, и результаты расчета сравне-ны с эксперим. данными по ДСК I. Введены эмпирич. параметры для описания пиков ДСК, характеризующих положение (т-ру) лика, максимум, его ширину и т. п. Позиция пика характеризуется т-рами важнейших точек: максимумом, точками перегиба и точками, соотв. опре-делённой степени превращения в-ва в ходе р-ции. По-казано, что рассчитанные значения параметров сильно зависят от выбора базовой линии.

Л. Г. Титов

термическое  
кальориметрическое

Х. 1985, 19, N18.

$\text{Al}(\text{DE})_4^- \text{aq}$

[Om. 21768]

1985

Raizman V. L.,

SS, CP, Tsvetn. Met. (Moscow)  
4f, 4gH, 1985, (5), 60-2.

Determination of the  
thermodynamic characteristics of

eliminate cons.

$\text{Al(OH)}^{2+}$

1985

Ruiz Ferrández J.,  
Limpio Gil J. L.

Rev. met. CENIM, 1985, 21,  
Kp; N2, 81-86.

(c.c.  $\text{Al}^{3+}$ , T)

Гидроксиды Al

1985

22 Б3183. Термическое разложение гидроксидов алюминия до оксидов. Thermal decomposition of aluminium hydroxides to aluminas. Sato T. «Thermochim. acta», 1985, 88, № 1: Calorimetry and Therm. Anal. Collec. Selec. Pap. 20 Anniversary Conf., Osaka, 13—16 Nov., 1984, 69—84 (англ.)

С помощью ДТА, ТГА, рентгенографии и ИК-спектрометрии изучено термич. разл. различных образцов  $\text{Al}(\text{OH})_3$  на воздухе. В кач-ве исходных образцов использованы крист. формы: гидрагиллит (Гд) (две формы, полученные осаждением из алюминатных р-ров), байерит (Бр) (две формы, полученные осаждением из алюминатных р-ров с помощью  $\text{CO}_2$ ), нострандит (получен осаждением аморф.  $\text{Al}(\text{OH})_3$  из водн. р-ров  $\text{AlCl}_3$  с последующей кристаллизацией), бёмит (Бм) (получен гидротермальным способом из Гд) и диаспор (Дс). Аморф. гелеобразные образцы  $\text{Al}(\text{OH})_3$  получены осаждением из водн. р-ров хлорида или нитрата алюминия натриевой щелочью при различных рН (4,5—9) и т-рах

Лурье И.С.  
Радченко С.С.

Х. 1985, 19, № 22

(25—95° С), а также мочевиной, или из водн. р-ра гидроксоалюмината соляной к-той. Установлено, что дегидратация Гд происходит по схеме: Гд—I→ $\lambda$ -Al<sub>2</sub>O<sub>3</sub>; Гд-II→ $\lambda$ -Al<sub>2</sub>O<sub>3</sub> (причем Гд-I переходит также в Бм, к-рый превращается в  $\lambda$ -Al<sub>2</sub>O<sub>3</sub>). Дегидратация Бр происходит по схеме: Бр—I→смесь Бм и Бр→смесь Бм и  $\eta$ -Al<sub>2</sub>O<sub>3</sub>→ $\rightarrow$  $\eta$ -Al<sub>2</sub>O<sub>3</sub>, а Бр-II сразу превращается в  $\eta$ -Al<sub>2</sub>O<sub>3</sub>.  $\lambda$ -Al<sub>2</sub>O<sub>3</sub>, образующийся при разл. Гд-I и Гд-II, переходит последовательно в  $\chi$ -,  $\theta$ - и  $\alpha$ -Al<sub>2</sub>O<sub>3</sub>, а  $\eta$ -Al<sub>2</sub>O<sub>3</sub>, образующийся при разл. Бр-I и Бр-II, переходит последовательно в  $\theta$ - и  $\alpha$ -Al<sub>2</sub>O<sub>3</sub>. Моногидраты Al<sub>2</sub>O<sub>3</sub> претерпевают след. превращения: Бм→ $\gamma$ -,  $\delta$ -,  $\theta$ -,  $\alpha$ -Al<sub>2</sub>O<sub>3</sub>, а Дс превращается сразу в  $\alpha$ -Al<sub>2</sub>O<sub>3</sub>. Термич. разл. аморф. Al(OH)<sub>3</sub> происходит с образованием аморф. Al<sub>2</sub>O<sub>3</sub>, затем последовательно  $\gamma$ -,  $\chi$ -,  $\theta$ - и  $\alpha$ -Al<sub>2</sub>O<sub>3</sub>. Псевдобёmit переходит последовательно в  $\gamma$ -,  $\delta$ -,  $\theta$ - и  $\alpha$ -Al<sub>2</sub>O<sub>3</sub>. Показано, что гидраты хлоридов, нитратов, сульфатов алюминия, а также лактаты, цитраты, тартраты и основные формиаты и ацетаты алюминия разлагаются с образованием аморф. Al<sub>2</sub>O<sub>3</sub>, к-рая переходит затем в  $\gamma$ -,  $\delta$ -,  $\theta$ - и  $\alpha$ -Al<sub>2</sub>O<sub>3</sub>.

Л. Г. Титов

HALD  
ALDH

1985

Зюбина Т.С., Зюбина А.С.,  
Горбик А.А., Чаркин О.П.,

Длгие. кеопах. холмы,  
1985, 30, квн. 11, 2739 —  
2744.

АЛОХ

1986

Al(H<sub>2</sub>O)

Родинское месторождение. СВ-6  
Муромецкого района

АЛОХ

Ульяновских районов (ЗАКОНОДАТЕЛЬСТВО  
РЕПУБЛИКИ ОМСК), №174, Указ  
оиск., 1986, стр. 10-18.

Дж,

расен



10-18

Антонов - Лом. 27432 1926.  
Мурз

II-Арханг Записка Р.П., Худо́йго-  
ров Б.О. и др.,

полиграфия  
и  
выпукл. № 6517-386

СВ-БА  
Антонов  
Мурз II-Арханг

АЛОК(2)

1986

СССР  
Москва

Автореферат диссертации  
на соискание ученой степе-

нки кандидата физико-математических наук,  
Москва, 1986.

$\text{Al}(\text{OH})_2(2)$

1986

издательство АСТ,

Автореферат докторской  
на соискание ученой сре-  
дстей К. физ.-мат. наук,  
КП, СФИ; Москва, 1986.

АлОН(г)

1986

19 Б3029. Масс-спектрометрическое определение энталпии образования AlOH(г). Милушин М. И., Емельянов А. М., Горохов Л. Н. «Теплофиз. высок. температур», 1986, 24, № 3, 468—473

Масс-спектрометрическим эффиusionным методом Кнудсена исследованы газовые р-ции:  $\text{Al}_2\text{O} + \text{H} \rightleftharpoons \text{AlOH} + \text{Al}$  (1) и  $2\text{Al} + \text{H} \rightleftharpoons \text{AlOH} + \text{Al} + \text{O}$  (2). Рассчитаны энталпии р-ций (1) и (2) и из них энталпии образования  $\Delta_f H(\text{AlH}, \text{g}, \text{O})$  соотв.  $-183,0 \pm 0,20$  и  $-184,0 \pm 15$  кДж/моль (III з-и). Рекомендована величина  $\Delta_f H(\text{AlOH}, \text{g}, \text{O}) = -184,0 \pm 15$  кДж/моль. А. М.

$\Delta H_f$

Х. 1986, 19, № 19

1986

АДК (Р)

Теор

тезис

диф.

(72)

☒

ж. 1986, 19, № 12

12 Б3061 Деп. Термодинамический анализ соединений алюминия и железа в пламенах методом масс-спектрометрии сверхзвуковых молекулярных пучков. Смирнов В. И., Белов Г. В., Латышев В. Н.; Иванов. ун-т. Иваново, 1986. 28 с., ил. Библиогр. 17 назв. Рус. (Рукопись деп. в ВИНИТИ 31.01.86, № 710-В)

Методом масс-спектрометрии сверхзвуковых молекул пучков исследованы труднолетучие оксиды и гидроксиды железа и алюминия, образующиеся в атмосферных пламенах. Из данных по равновесию газофазных реакций  $\text{Fe} + \text{H}_2\text{O} \rightleftharpoons \text{FeO} + \text{H}_2$ ;  $\text{FeO} + \text{H}_2\text{O} \rightleftharpoons \text{Fe(OH)}_2$ ;  $\text{AlO} + \text{H}_2 \rightleftharpoons \text{AlOH} + \text{H}$ ;  $\text{Al}_2\text{O}_3$  (к. ж.) +  $2\text{H}_2 \rightleftharpoons 2\text{AlOH} + \text{H}_2\text{O}$  определены теплоты образования  $\Delta_f H_0^\circ$  (AlOH, г, 3-й закон) =  $= -197,5 \pm 30$  кДж/моль;  $\Delta_f H_0' (\text{FeO}, \text{г}, 2\text{-й закон}) = = 244 \pm 30$  кДж/моль;  $\Delta_f H_0' (\text{FeO}, \text{г}, 3\text{-й закон}) = = -298 \pm 30$  кДж/моль;  $\Delta_f H_0^\circ (\text{Fe(OH)}_2, \text{г}, 3\text{-й закон}) = = 291,1 \pm 30$  кДж/моль.

Автореферат

 $\text{FeO}^{(r)}, \text{Fe(OH)}_2(\text{Р})$

AlOH

1986

105: 50067j Mass-spectrometric determination of the heat of formation of gaseous aluminum hydroxide (AlOH). Milushin, M. I.; Emel'yanov, A. M.; Gorokhov, L. N. (Inst. Vys. Temp., Moscow, USSR). *Teplofiz. Vys. Temp.* 1986, 24(3), 468-73 (Russ). Mass spectroscopy was used to study the vapors above decompg. Al<sub>2</sub>O. Equil. consts. and thermodn. parameters were detd.

Mass Spec.,

SfH,

C.A. 1986, 105, n6

*АБООН  
(бемит)*

*1986*

14 В6. Получение и свойства волокнистого бемита.  
A study on the preparation and properties of fibrillar boehmite. Sterte J. P., Otterstedt J-E. «Mater. Res. Bull.», 1986, 21, № 10, 1159—1166 (англ.)

С применением методов РФА, электронной микроскопии, измерения уд. пв изучено влияние т-ры, времени, мол. отношения  $\text{Al}_2\text{O}_3:\text{Cl}$  в исходном р-ре на структуру и пористость синтетич. волокнистого бемита (I), образующегося в гидротермальных условиях из р-ра металлич. Al в водн.  $\text{AlCl}_3$ . I кристаллизуется из р-ра с мол. отношением  $\text{Al}_2\text{O}_3:\text{Cl}=0,93$  при т-ре  $>120^\circ\text{C}$  в течение 24 ч. Частицы I, образующегося при  $160^\circ\text{C}$  имеют диам.  $\sim 50$  и длину  $\sim 1000$  А. Увеличение т-ры до  $220^\circ\text{C}$  при различных  $\text{Al}_2\text{O}_3:\text{Cl}$  оказывает незначит. влияние на кристалличность I. Денонизованные, высушенные при замораживании образцы I характеризуются уд. пв  $50$ — $250$   $\text{m}^2/\text{г}$  и объемом пор  $0,1$ — $1,0$   $\text{см}^3/\text{г}$ . Для ряда образцов I рассчитано распределение пор по объему. Отмечается увеличение размера пор при росте т-ры синтеза I.

М. Б. Варфоломеев

*X. 1987, 19, N 14*

*AlO(OH)*

1987

24 В4. Синтез нового гидроксида алюминия методом ионного обмена. The synthesis of a new hydrous aluminium oxide through ion exchange. Kipp D. O., Poeppelmeier K. R. «Abstr. Pap., 194 th ACS Nat. Meet. (Amer. Chem. Soc.), New Orleans, La, Aug. 30—Sept. 4, 1987». Washington, D. C., 1987, 701 (англ.)

Выдерживанием  $\alpha\text{-LiAlO}_2$  (I) в кисл. среде получен  $\text{AlO(OH)}$  (II), содержащий по данным ИК-спектроскопии ионы  $\text{OH}^-$  и характеризующийся присутствием слабых Н-связей. Строение II близко I, характеризуется гексагон. решеткой с  $a$  2,823,  $c$  13,77 Å. Нагревание II до 300° С приводит к образованию  $\text{Al}_2\text{O}_3$ . Для  $\beta$ - и  $\gamma\text{-LiAlO}_2$  не характерен обмен  $\text{Li}^+$  на протон.

М. Б. Варфоломеев

*Синтез,  
структура*

X. 1988, № 24

*Al<sub>2</sub>O<sub>3</sub> · 3H<sub>2</sub>O*

*1987*

19 в3. Новый гидроксид Al(III) с составом  $\text{Al}_2\text{O}_3 \cdot 3\text{H}_2\text{O}$  и кубической упаковкой кислорода. Кричко О. П., Парамзин С. М., Плясова Л. М., Золотовский Б. П., Буянов Р. А. «Кинет. и катал.», 1987, 28, № 3, 765

Синтезирован новый гидроксид Al (3+) состава  $\text{Al}_2\text{O}_3 \cdot 3\text{H}_2\text{O}$ , октаэдрич. координацией катионов Al (3+) и куб. упаковкой кислорода ( $\text{O}^{2-}$ ,  $\text{OH}^-$ ,  $\text{H}_2\text{O}$ ).

. Из резюме

*X. 1987, 19, N 19*

$\text{Al}_2\text{O}_3 \cdot 3\text{H}_2\text{O}$

1987

Новый гидроксид Al(III) с составом  $\text{Al}_2\text{O}_3 \cdot 3\text{H}_2\text{O}$  и кубической упаковкой кислорода: [Письмо в ред.] /Криворучко О.П., Парамзин С.М., Плясова Л.М. и др.

// Кинетика и катализ. – 1987. – Т. 28, вып. 3. – С. 765.

– – 1. Алюминий, гидроокись – Кристаллическая структура.

№ 126777, (Замена от 13.11.87) УДК 546.623–31:548.3:541.12.03:539.25

18 № 7230

НПО ВКП 8.09.88



ЕКЛ 17.8

Al OH

Он. 26.9.30 1987

17 Б3118. Термическое разложение гидроксидов алюминия. Thermal decomposition of aluminium hydroxides. Sato Taichi. «J. Therm. Anal.», 1987, 32, № 1, 61—70 (англ.; рез. нем., рус.)

Методами ДТА, ТГА, РСТА и ИК-спектроскопии изучено термич. разл. крист. гидроксидов Al: гидрагилита (Гд), байерита (Бр), и норстрандита (Нр). Представлены схемы термич. превращений исходных и промежут. фаз. Гд—I разлагается по схеме: Гд—I→(бемит)→ $\rightarrow\lambda\text{-Al}_2\text{O}_3$  (III)→ $\chi\text{-III}\rightarrow\theta\text{-III}\rightarrow\alpha\text{-III}$ . Гд-II разлагается по аналогичной схеме (без bemita). Бр—I разлагается по след. схеме: Бр—I→(бемит)→ $\eta\text{-III}\rightarrow\theta\text{-III}\rightarrow\alpha\text{-III}$ . Бр-II разлагается по аналогичной схеме (без bemita). По такому же механизму разлагается и норстрандит.

Л. Г. Титов

Х. 1987, 19, N 17

$\text{Al(OH)}^{2+}$  1988  
Эфимов М. Е., Фурковец  
и. то и др.,

Колориметр. определение энталпии образования  $\text{Al}^{3+}$  и  $\text{Al(OH)}^{2+}$  в водной р-ре.

$\Delta H_f$ ; Презисы докладов II Всесоюзного симпозиума 6-8 сентября 1988 гг. в г. Свердловск, 1988, т. I, Свердловск, 1988, 143.

АЛДА

(ДИТ)

Городов А.Н., Енельдинов А.М.  
и др.

Термохимия молекул  
мононитратов Al, Cu и  
Fe.

XII Всесоюзный конгресс —  
1988 по химической тер-  
модинамике и конфорци-<sup>1988</sup>

Исправлено.

Недороговской Сборник.  
Тюмень, стр. 12-14, 1988г.

*d-AlOOH*

1988

20 Б2030. Al-вакансии в  $\alpha\text{-Al}_2\text{O}_3$ , полученном при дегидратации  $\alpha\text{-AlOOH}$ . Al vacancies in  $\alpha\text{-Al}_2\text{O}_3$  formed by dehydration of  $\alpha\text{-AlOOH}$ . Hagiya K., Olmasa M. «14th Int. Congr. Crystallogr., Perth, 12—20 Aug., 1987. Collect. Abstr.» Nedlands, 1988, 73 (англ.)

Проведен РСТА ( $R = 0,138$  для 369 отражений) кристаллов  $\alpha\text{-Al}_2\text{O}_3$  (I), полученных дегидратацией природного диаспора  $\alpha\text{-AlOOH}$  при  $T = 500^\circ\text{C}$ . Параметры ромбоэдрич. решетки I (ф. гр.  $R\bar{3}c$ ) в гексагон. установке:  $a = 4,752$ ,  $c = 12,989$  Å. Наличие рефлексов-сателлитов на дифракц. картинах и периодич. дефектов на картинах прямого изображения решетки, полученных в электронном микроскопе, позволил сделать вывод о дефектности и модулировании мотива атомов Al. В I только 75% октаэдрич. положений заселено Al. Отношение Al:O в дефектном I равно 1:2, т. е. то же, что и в исходном диаспорте, что подчеркивает структурную преемственность при процессе дегидратации.

С. В. Соболева

Х. 1988, 19, № 20

*Al(OH)<sub>3</sub>*

1988

6 Б3076. Исследование термических реакций оксидов и гидрооксидов алюминия. Studies on the thermal reactions of aluminium oxides and hydroxides. / Novák C., Pokol G., Tomor K., Kömives J., Gál S. // J. Therm. Anal.— 1988.— 33, № 3.— С. 765—769.— Англ.; рез. Нем., Рус.

В диапазоне т-р от комн. до 550° С методами РФА и ТГА исследовано термич. разл. Al(OH)<sub>3</sub> (гипбсит) в процессе размалывания во влажном воздухе в шаровой мельнице. В обл. т-р 200—350° С идет обратимая р-ция разл. гипбсита до  $\chi$ -фазы Al<sub>2</sub>O<sub>3</sub>, причем ниже 250° С скорость этой р-ции соотв. механизму образования центров кристаллизации и их контролируемому росту. При 350—550° С в гидротермич. условиях идет превращение  $\chi$ -фазы в AlO(OH) (бемит). Этот переход

*термическое  
разложение*

*ex. 1989, N 6*

зависит от продолжительности измельчения, поскольку с ее ростом возрастает роль диффузии в контроле над скоростью перехода. При т-рах ниже 150°С наблюдается обратный переход  $\chi$ -фаза — гиббсит, но при увеличении времени обработки единственным продуктом пр-ции является бемит.

В. А. Ступников



$\text{Al(OH)}_4^-$

DM 29635

1988

15 Б3016. Термодинамика водного алюминиевого иона: Стандартные парциальные мольные теплоемкости и объемы  $\text{Al(OH)}_4^-$ (aq) от 10 до 55°C. Thermodynamics of aqueous aluminate ion. Standard partial molar heat capacities and volumes of  $\text{Al(OH)}_4^-$ (aq) from 10 to 55°C. Hovey Jamey K., Hepler Loren G., Tremaine Peter R. «J. Phys. Chem.», 1988, 92, № 5, 1323—1332 (англ.)

Собственные эксперим. данные по  $\bar{C}_p^0$  и  $V^0\text{Al}^{3+}$ (aq) в водн. р-рах  $\text{NaAl(OH)}_4$  использованы для вычисления  $V^0(T)$  и  $\bar{C}_p^0(T)$  иона  $\text{Al(OH)}_4^-$  в интервале 10—55°C с использованием расширенного ур-ния Дебая — Хюккеля, а также по модели Питцера для ион-ионного взаимодействия. Эксперим. данные представлены ур-ниями  $V^0 = 173,7 - 0,2844 T - 4617,9/(T - 190)$  см<sup>3</sup>/моль и  $\bar{C}_p^0 = -7101,0 + 39,64 T - 0,05664 T^2 - 27343/(T - 190)$  Дж/моль·К. Рекомендованы для иона  $\text{Al(OH)}_4^-$   $\Delta_fG_{298} = -1305,6$  кДж/моль и  $S_{298} = 111,3$  Дж/моль·К.

Л. А. Резницкий

X. 1988, 19, N 15

$\text{Al(OH)}_4^-$  aq

1988

Hovey Jamey K.,  
Hepler Loren G., et al.

Cp; J. Phys. Chem. 1988, 92,  
(5), 1323-32.

(c.c.  $\text{NaAl(OH)}_4 \cdot \text{I}$ )

$\text{Al(OH)}_3$

1988

Изучение природы продуктов механохимической активации гидрагиллита : [Сообщ.]

// Изв. Сиб. отд-ния АН СССР. — 1988. — № 5 : Сер. хим. наук. — Вып. 2. — С. 47—50.

Рез. англ.

Содерж.: 3. Накопление энергии в процессе механохимической активации тригидроксидов Al(III) / С. М. Парамзин, Ю. Д. Панкратьев, В. М. Турков и др.

Библиогр.: 8 назв.

— 1. Гидрагиллит — Активация механохимическая.

№ 66011

18 № 2855

НПО ВКП 27.06.88

УДК 546.621+539.8

ЕКЛ 17.8

$\text{Al}_2\overset{\circ}{\text{O}}_3 \cdot 3\text{H}_2\text{O}$

1988

21 Б3186. Исследование структурных превращений байерита в процессе механохимической активации. Парамзин С. М., Плясова Л. М., Криворучко О. П., Золотовский Б. П., Богданов С. В., Крюкова Г. Н., Паукштис Е. А., Буянов Р. А. «Изв. АН СССР. Сер. хим.», 1988, № 6, 1209—1213

С применением методов рентгенографич. анализа, радиального распределения атомов, ЯМР- и ИК-спектро-

Ттг

Х. 1988, № 21

скопии изучены структурные превращения байерита (I) в процессе механохим. активации. Установлено, что при механохим. активации I происходит сдвиг гидроксильных пакетов и послед. расщепление кристаллов на пластины толщиной до 10 Å. В процессе сдвига чередование пакетов изменяется от ABAB...до ABBA..., свойственного гидрагиллиту и ABCABC..., свойственного кубич. упаковке. В процессе активации происходит дегидроксилирование с образованием  $O^{2-}$  и молек. воды, к-рая располагается, преимущественно, в первой координац. сфере катионов  $Al(3+)$ . Все это сопровождается переходом I в рентгеноаморфное состояние с составом  $Al_2O_3 \cdot 3H_2O$ , октаэдрич. координацией катионов  $Al(3+)$  и разупорядоченной кубич. упаковкой  $OH^-$ ,  $O^{2-}$ ,  $H_2O$ .

Атореферат

$\text{Al(OH)}_3$

1988

Исследование структурных превращений байерита в процессе механохимической активации /Парамзин С.М., Плясова Л.М., Криворучко О.П. и др.

// Изв. АН СССР. Сер. хим. – 1988. – № 6. – С. 1209–1213.

Библиогр.: 13 назв.

— 1. Байерит – Активация механохимическая. 2. Байерит – Структура.

№ 102170

УДК 543.422.25:548.737:546.623-36:541.12.031

18 № 5854

ЕКЛ 17.8

НПО ВКП 23.09.88



$\text{Al(OH)}_3$   
(стрихи.  
смночи)

1988

1) 22 В12. Получение гидроксида алюминия, нордстрандита. Preparation of aluminium hydroxide, nordstrandite / Sato Taichi // Rep. Res. Group Funct. Alum. and Surface Films.— Osaka, 1988.— С. 117—140.— Англ.

Изучены условия получения гидроксида алюминия в форме чистого нордстрандита (НСТ) из гелей гидроксидов алюминия, образующихся из водн. р-ров хлорида или нитрата алюминия при добавлении щелочей (водн. р-ров гидроксидов натрия или аммония) в различных условиях при 25° С. Полученные осадки подвергались старению в маточных р-рах, отмывались в воде и, затем, подвергались дополнит. старению в аммиачной воде или Еп. Установлено, что НСТ, в основном, не образуется при старении осадков в маточных р-рах, за исключением случая добавления Еп как щел. р-ра. НСТ образуется в смеси с байеритом и/или гидрагиллитом при старении осадков в аммиачной воде. Чистый НСТ образуется при старении осадков в водн. р-рах Еп.

По резюме

X.1990, №22

*Al(OH)<sub>3</sub>*

1988

18 В3. Получение гидроксида алюминия модификации нордстрандита. Preparation of aluminum hydroxide, nordstrandite / Sato T. // Кэйкиндзоку=J] Jap. Inst. Light Metals.— 1988.— 38, № 11.— С. 731—739.— Англ.

Описан процесс получения нордстрандита (I); осадки исследованы методами термогравиметрии, ДТА, рентгеновской дифракции, ИК-спектрометрии. Осадки  $Al(OH)_3$ , полученные из водн. р-ров солей Al и NaOH или  $NH_4OH$ , подвергались старению от 1 дня до 2 мес в различных р-рах. Получение чистого I затруднено при старении в маточном р-ре. При старении в р-ре аммония получена смесь I с др. модификациями. В водн. р-ре Еп при определенных условиях получен чистый нордстрандит. В. И. Муратова

*получен*

X. 1989, N 18

$\text{Al}_2\text{O}_3 \cdot n\text{H}_2\text{O}$

1989

) 17 Б3092. Термическое разложение гидрагиллита.  
I. Первичный продукт разложения. A hidrargillit termikus bomlása. I. A bomlás elsődleges terméke / Kacsalova Lidia, Migály Béla // Építőanyag.— 1989.— 41, № 1.— С. 1—4.— Венг.; рез. рус., англ., нем.

Изучено термич. разл. гидрагиллита (I), полученного в заводских условиях методом Байера. Образцы I имели уд. Пв 0,5 м<sup>2</sup>/г и средний размер зерен 80 мкрон. Крист. решетка I разрушается при 100—280° С, причем образуется рентгено-аморф. фаза  $\text{Al}_2\text{O}_3 \cdot n\text{H}_2\text{O}$ , а при 250—280° С кристаллизуется бемит. Резюме

термическое  
разложение

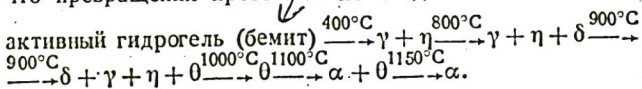
Х. 1989, N 17

АЛОХ

1989

24 Б3177. Изучение фазовых превращений активного гидрогеля алюминия под воздействием температуры / Кулиев А. Д., Кириченко Г. Н., Масагутов Р. М., Шахтахтинский Т. Н. // Докл. АН АзССР.— 1989.— 45, № 3.— С. 29—31.— Рус.; рез. англ., азерб.

С помощью РФА исследованы фазовые превращения гидрогеля алюминия в форме хорошо закристаллизованного бемита при нагревании до 1150° С. Показано, что превращения протекают по след. схеме:



Б. Г. Коршунов

Х. 1989, № 24

γ-Al<sub>2</sub>O<sub>3</sub>H

1990

Геол. П. В., Тахасрох

T.P. v gp.

Н. исправ. Редукц.

1990. 35, N 11. C. 2741-

2744

(см. Al<sub>2</sub>O<sub>3</sub>; I)

Гидроксид Ал.

1991

- ) 14 Б3092. Фазовый состав и физико-химические свойства гидроксида алюминия / Белова И. М., Лаврова Г. В., Миловзорова С. В., Кузнецова Э. П., Иванюк С. А., Середа Е. С. // Укр. хим. ж.— 1991.— 57, № 1.— С. 12—14.— Рус.

Определен фазовый состав и исследованы физ.-хим. св-ва гидроксосоединений, образующихся при окислении активированного алюминия водой. Степень полиморфного превращения байерита определяется скоростью отвода тепла с межфазной границы металл—вода, что в свою очередь, определяется дисперсностью активированного алюминия. Уд. ПВ продукта зависит от чистоты исходного алюминия, т-ры его окисления, последующей термообработки и составляет 200—600 м<sup>2</sup>/г.

Резюме

ж. 1991, N 14.

Гидроксид Al

1991

(байерит)

7 Е762. Фазовый состав и физико-химические свойства гидроксида алюминия / Белова И. М., Лаврова Г. В., Миловзорова С. В., Кузнецова Э. П., Иванюк С. А., Середа Е. С. // Укр. хим. ж.— 1991.— 57, № 1.— С. 12—14

Определен фазовый состав и исследованы физико-химич. свойства гидроксосоединений алюминия, образующихся при окислении активированного алюминия водой. Степень полиморфного превращения байерита определяется скоростью отвода тепла с межфазной границы металл — вода, в свою очередь, определяется дисперсностью активированного Al. Уд. поверхность продукта зависит от чистоты исходного алюминия, т-ры его окисления, последующей термообработки и составляет 200—600 м<sup>2</sup>/г.

Резюме

Фаз. состав

и

Физ-хим-  
св-ва

ф. 1991, № 7

$\text{Al(OH)}_3$

1991

Catti M., Ferraris G.,  
et al.

J. Kristallogr. 1991.  
Suppl., N°. C. 316.

(c.c.u.  $\bullet \text{Mg(OH)}_2$ ; T)

*Al(OH)<sub>3</sub> (aq)*

*1991*

18 Б3034. Калориметрическое исследование гиббсита  $\text{Al}(\text{OH})_3$ , сг и термодинамические свойства водного алюминат-иона  $\text{Al}(\text{OH})_4^-$  (aq). Calorimetric study of the digestion of gibbsite,  $\text{Al}(\text{OH})_3$ (сг), and thermodynamics of aqueous aluminate ion,  $\text{Al}(\text{OH})_4^-$  (aq) / Chen Qiyuan, Xu Yuming, Hepler Loren G. // Can. J. Chem.— 1991.— 69, № 11.— С. 1645—1690.— Англ.; рез. фр.

Энталпии р-рения синтетич. гиббсита  $\text{Al}(\text{OH})_3$  (I) в водных р-рах NaOH определены в калориметре Кальве при т-рах 100, 113, 126, 139 и 150° С. Время полного р-рения I составляло 45—75 мин, точность измерения  $\Delta_{\text{sol}}H$  около 0,5%, значения  $\Delta_{\text{sol}}H$  р-ции  $\text{I} + \text{OH}^-$ , aq =  $= \text{Al}(\text{OH})_4^-$ , aq (II) сдвигаются к более положительным величинам от ~30 кДж/моль при 100° С до ~36 кДж/моль при 150° С, а  $\Delta C_p$  изменяются от 116,2 до 118,9 Дж/К моль.  $\Delta_fH$  и парц. мольные теплоемкости  $\text{NaAl}(\text{OH})_4$ , aq (III) вычислены в интервале 100—150° С. С использованием лит. данных по  $C_p(T)$  вы-

*X-1992, N 18*

*NaAl(OH)<sub>4</sub>, aq, Al(OH)<sub>4</sub><sup>-</sup>*

числена  $\Delta_fH(I, 298 K) = -1743,11 \pm 0,24$  кДж/моль.  
Термодинамич. св-ва I табулированы в интервале  
 $0-250^\circ\text{C}$ . Величины  $C_p$  III максимальны вблизи  $100^\circ\text{C}$   
и уменьшаются до  $-127,9$  Дж/К·моль при  $250^\circ\text{C}$ ,  
 $\Delta_fH$  III монотонно увеличиваются, а  $\Delta_fG$  — уменьшают-  
ся при увеличении т-ры.  $\Delta_fH$  II увеличиваются от  
 $-1501,03$  кДж/моль при  $0^\circ\text{C}$  до  $-1507,62$  кДж/моль  
при  $160^\circ\text{C}$ ,  $\Delta_fG$  II уменьшаются от  $-1321,51$  до  
 $-1214,44$  кДж/моль в том же т-рном интервале.  
Точность термодинамич. данных выше используемых в  
работах лаборатории Беркли. Л. А. Резницкий



$\text{Al(OH)}_4^-$  ag 1991  
Chen Qiyuan,  
 $(\Delta H_{\text{sol}}, \Delta H)$  Xie Yumeng et al.  
Can. J. Chem. 1991,  
69 (11), 1685-90.

(crys.  $\text{Al(OH)}_3$ ;  $\overline{\text{I}}$ )

$\text{Al(OH)}_3$   
WFOCUM

1991

( $\Delta H_{\text{f}}, \Delta H$ )

115: 216317z Calorimetric study of the digestion of gibbsite,  $\text{Al(OH)}_3(\text{cr})$ , and thermodynamics of aqueous aluminate ion,  $\text{Al(OH)}_4^-(\text{aq})$ . Chem. Qiyuan; Xu, Yuming; Hepler, Loren G. (Dep. Chem., Univ. Alberta, Edmonton, AB Can. T6G 2G2). *Can. J. Chem.* 1991, 69(11), 1685-90 (Eng). Calorimetric measurements were made of the enthalpies of soln. of gibbsite,  $\text{Al(OH)}_3(\text{cr})$ , in aq. sodium hydroxide solns. at five temps. from 100-150°C. Results of these measurements have been used to obtain the std. enthalpies of formation  $\text{Na}^+(\text{aq}) + \text{Al(OH)}_4^-(\text{aq})$  at the exptl. temps. These results have also led to values of  $\Delta C_p^0$  for the reaction represented concisely by  $\text{Al(OH)}_3(\text{cr}) + \text{OH}^- (\text{aq}) = \text{Al(OH)}_4^-(\text{aq})$ , from which we have obtained std. state partial molar heat capacities of  $\text{Na}^+(\text{aq}) + \text{Al(OH)}_4^-(\text{aq})$ . Combination of our results with those from earlier investigations has permitted calcn. of thermodn. properties of  $\text{Na}^+(\text{aq}) + \text{Al(OH)}_4^-(\text{aq})$  over a wide range of temp. and thence some generalization about the usefulness of various equations for representing or predicting these thermodn. properties.

④

C.A. 1991, 115, N 20

$\text{Al(OH)}_4^-\text{aq}$

Sl(DH)<sub>3</sub>

(Dm. 36038)

1991

Зубенков А.Г., 20018 А.Д.Н.  
и сп.

(DH)

Teop. и эксперим. Ханчиков,  
1991, № 27, № 4, 479-473

Al(OH)<sub>3</sub>

1992

15 Б3114. Новый подход к фазовым превращениям гиббсита. Роль кристалличности. A new approach to phase transformations in gibbsite: the role of the crystallinity /Mehta S. K., Kalsotra A., Murat M. //Thermochim. acta.—1992.—205.—С. 191—203.—Англ.

В диапазоне т-р 20—1100° С методами РФА, ДТА и ТГА, измерением электросопротивления и диэлектрич. постоянной исследовано фазовое поведение двух образцов синтетич. Al(OH)<sub>3</sub>, отличающихся по степени кристалличности (хорошо закристаллизов. А с размерами кристаллитов до 1200 Å, и плохо закристаллизов. образец В). Образец А при 300° С переходит из фазы габбсита в фазу бемита, к-рая при 550° С превращается в γ-фазу  $I_2O_3$  (I), при 850° С появляется θ-фаза I, переходящая при 1000° С в α-фазу I. Образец В при 300° С переходит в χ-фазу I, при 850° С появляется κ-фаза I, к-рая при 1100° С превращается в α-фазу I. Образец В обладает, по сравнению с А, более низким электросопротивлением. Обнаружены различные ориентац. соотношения в фазах образцов А и В.

Б. А. Ступников

фуз. превр.

X<sub>с</sub> 1993, № 15

AlOOH

1992

Wolska E., Szajda W.,  
et al.

J. Therm. Anal. 1992. 38,  
N9. C: 2115 - 2122.

(ceep. ● FeOOH; T)

AlOOH

1993

Тричев Г.У., Пирусов Н.В.  
и др.

Изв. вузов. Химия и  
хим. технологии. 1993. 36,  
N3. С. 34-37.

(сост.  $\text{Al}(\text{OH})_3 \cdot \text{I}$ )

*Al(OH)<sub>3</sub>*

*/993*

! 20 В17. Продукты взаимодействия раствора  $\text{Al}(\text{NO}_3)_3$  с раствором едкого натра /Гринь Г. И., Трусов Н. В., Бондаренко Л. Н., Вернигора К. П. //Изв. вузов. Химия и хим. технол.—1993.—36, № 3.—С. 34—37.—Рус.

Методом pH-метрич. осаждения изучен состав продуктов, образующихся в системе  $\text{Al}(\text{NO}_3)_3 + \text{NaOH}$ . Показано, что макс. выход осадка соответствует первой эквипотенциальной точке на кривой титрования. Полученный продукт представляет собой смесь  $\beta\text{-Al(OH)}_3$ ,  $\alpha\text{-Al}_2\text{O}_3 \cdot \text{H}_2\text{O}$  и  $\gamma\text{-AlOOH}$ .

(72)⊗

X. 1993, № 20

$\text{Al(OH)}_3$

1993

4 Б3162. О характере структурных превращений гидрагиллита в процессе нагревания в автоклаве /Усов Л. В. //Ж. неорган. химии .—1993 .—38 ,№ 8 .—С. 1279—1280 .—Рус.

На основании комплексного использования методов ДСК и РФА изучена последовательность структурных превращений гидрагиллита  $\gamma\text{-Al(OH)}_3$  в гидротермальных условиях в интервале от 20 до 600° С.

*структурные  
превращения.*

X.1994, NЧ

*Al(OH)<sub>3</sub>*

*1993*

2 Б3059. Кинетика термического разложения синтетического гиббсита. Kinetics of thermal decomposition of synthetic gibbsite /Zeng Wenming, Zhou Hong, Chen Qiyuan, Chen Xinmin //Trans. Nonferrous Metals Soc. China. —1993.—3, № 2.—С. 41—44.—Англ.

С помощью методов ДСК и дифракции рентгеновских лучей исследовано термич. разложение синтетич. гиббсита (I) при т-рах от комн. до 400° С. Определены механизм и кинетич. параметры термич. разложения I. В исследованном интервале т-р разложение I является гетерог. р-цией, состоящей из трех стадий. Первая стадия — индукц. период. Основными продуктами 2-й стадии были  $Al(OH)_n$ , а энергия активации равнялась  $219,5 \pm 2$  кДж/моль. После 3-й стадии основным продуктом был бемит, а энергия активации равнялась  $142,2 \pm 11,7$  кДж/моль. Р-ции в течение 2-й и 3-й стадии были эндотермич. реакциями.

В. Ф. Байбуз

*термич. разлож.*

*X, 1994, № 2*

1994

F: Al(OH)4-(aq)

P: 1

4Б3135. Термодинамические свойства водного алюминат-иона  
 $\text{Al(OH)}[4]\{-\}$ (aq). Thermodynamic properties of aqueous aluminate ion,  
 $\text{Al(OH)}[4]\{-\}$ (aq) / Chen Q., Zeng W. // J. Cent. S. Univ. Technol. 1994. - 1,  
N 1. - С. 8-13. - Англ.

Калориметрически определен тепловой эффект р-ции металлич. Al с  
води. р-ром NaOH. С использованием этих эксперим. данных рассчитаны  
термодинамич. св-ва иона  $\text{Al(OH)}[4]\{-\}$  в води. р-ре:  
'ДЕЛЬТА'[f]H[m]{0}=-(1503,65'+'1,00) кДж/моль, 'ДЕЛЬТА'[f]G[m]{0}=-(1305,29'+'1,00) кДж/моль, 'ДЕЛЬТА'S[m]{0}=(99,51'+'3,50) Дж/моль\*К..  
DH, DG.

X. 1996, №4.

$\text{Al(OH)}_4^-$  (aq)

1994

120: 281677j Determination of the standard molar enthalpy of formation of the ion  $\text{Al(OH)}_4^-$ (aq). Zeng, Wenming; Chen, Qiyuan; Chen, Xinmin (Dep. Chem., Central South Univ. Technol., Changsha, Peop. Rep. China 410083). *J. Chem. Thermodyn.* 1994, 26(2), 205-10 (Eng). Enthalpy changes for the reaction of Al(s) with NaOH(aq) were measured using calorimeter HT1000 or C80. The std. molar enthalpy of formation  $\Delta_f H_m^\circ$  of  $\text{Al(OH)}_4^-$ (aq) was calcd on the basis of the exptl. results. Combination with values from the literature led to  $\Delta_f H_m^\circ = -(1503.61 \pm 1.00) \text{ kJ.mol}^{-1}$ .

$\Delta_f H$

C.A. 1994, 120, N22, 281677g

1995

F: Al(OH)3

P: 1

2Б3146. Механизм растворения гиббсита / Ле Тхи Май Хыонг, Тарасова Т. В., Лукас Димакас // Ж. физ. химии. - 1995. - 69, N 7. - С. 1214-1217. - Рус.

Изучено р-рение гидроксида алюминия модификации гиббсит в неорг. р-рителях. Показано, что взаимодействие гиббсита с кислотами энергетически более предпочтительно, чем со щелочами. А основании проведенных исследований предположено, что взаимодействие гиббсита с к-тами локализовано на поверхности и протекает преимущественно на призматических плоскостях. Показано, что р-рение в щелочи сопровождается адсорбцией гидроксильных групп на полярной связи Al-O и перестройкой кристаллической решетки, это приводит к распространению реакционного фронта в объем частиц.. DG.



X. 1996, N 2

1995

F: Al(OH)3

P: 1

2Б3145. Кинетика растворения гиббсита в минеральных кислотах / Ле Тхи Май Хыонг, Тарасова Т. В., Лукас Димакас // Ж. физ. химии. - 1995. 69, N 7. - С. 1210-1213. - Рус.

Проведено исследование кинетики р-рения гидроксида алюминия модификации гиббсит в азотной, соляной и серной к-тах. В результате обработки кинетич. данных методом аффинных преобразований и по выбранному уравнению  $-\ln(1-\alpha') = kt$  показано, что механизм процесса не меняется относительно конц-ии, т-ры и анионного состава и характеризуется энергией активации 70 кДж/моль. Увеличение скорости р-рения в ряду HNO<sub>3</sub><HCl<H<sub>2</sub>SO<sub>4</sub> объяснено различием полярности связи, стерических характеристик и подвижности анионов.. DG.

Х. 1996, N 2

*d-AlOOH*

1995

122: 249465u Determination of the standard molar enthalpy of formation of  $\alpha$ -AlOOH (diaspore). Qiyuan, Chen; Wenming, Zeng; Songqing, Gu; Guanqun, Yang; Hufang, Zhou; Zhonglin, Yin (Dep. Chemistry, Central-South Univ. Technology, Hunan, Peop. Rep. China 410083). *J. Chem. Thermodyn.* 1995, 27(4), 443-6 (Eng). The enthalpy change of the decompn. of  $\alpha$ -AlOOH (diaspore) was calorimetrically detd. Combining with results from the literature the std. enthalpy of formation of  $\alpha$ -AlOOH (diaspore) has been obtained as  $-(1002.7 \pm 1.0)$  kJ·mol<sup>-1</sup>.

*ΔfH<sup>0</sup><sub>298.15</sub>*

C-A. 1995, 122, 1420

1995

диаспор

AlOOH

$\Delta H_f =$

= 239,65 ± 0,24

ккал/моль

F: AlOOH

P: 1

10Б312. Определение стандартной молярной энталпии образования диаспора ('альфа'-AlOOH). Determination of the standard molar enthalpy of formation of 'альфа'-AlOOH (diaspore) / Chen Qiyuan, Zeng Wenming, Gu Songqing, Yang Guanqun, Zhou Huifang, Yin Zhonglin // J. Chem. Thermodyn. - 1995. - 27, N 4. - С. 443-446. - Англ.

С использованием высокот-рного калориметра Т~1500 определена энталпия разложения диаспора ('альфа'-AlOOH). а основе этой величины в сочетании с лит. термодинамич. данными для 'альфа'-Al<sub>2</sub>O<sub>3</sub> и H<sub>2</sub>O получена станд. мол. энталпия образования диаспора ' $\Delta H_f$ ' [0] ('альфа'-AlOOH, s, 298,15K) = -1002,7' + '-1,0 кДж\*моль{-1}. Проведено сравнение с данными др. авторов.. DHf.

X. 1996, N 10

$\text{Al(OH)}_4^-(\text{aq})$

1996

Plyasunov A.V., Freythe I.;  
Acta chem. scand., —  
1996, 50, N. 7, C. 578-79.

(all.)



$\text{Al}^{3+}(\text{aq}); \text{---}^-$

$\text{Al(OH)}_4^- \text{(aq.)}$

1997

Wu, Ching-Hsien;  
Dobrogowska, C; et al;

( $\Delta H$ ) Can. J. Chem., 1997, 75(8),  
1110 - 1113.

Call:  $\text{Al}^{3+}$  (aq);  $\bullet$   $\text{I}^-$

$\text{Al(OH)}_3$

1997

MFRW ✓  
GFR ✓  
MFRW  
FAPCO -  
MFRW

128: 67074g Thermodynamic analysis of thermal decomposition of  $\text{Al(OH)}_3$ . Zeng, Wenming; Chen, Nianyi (Shanghai Institute of Metallurgy, Chinese Academy of Sciences, Shanghai, Peop. Rep. China 200050). *J. Mater. Sci. Technol. (Shenyang, People's Repub. China)* 1997, 13(5), 446 (Eng), Journal of Materials Science & Technology. Thermodyn. anal. of the main reactions in the process of thermal decompr. of  $\text{Al(OH)}_3$  was made using Temkin-Schwarzman's method and by means of regression anal.

C.A 1998, 128, N6

F: Aln+(H<sub>2</sub>O)1

1999

P: 1 V31:65305 Magic numbers in Aln+(H<sub>2</sub>O)1 cluster cations. Lippa, T. P.; Lyapustina, S. A.; Xu, S.-J.; Thomas, O. C.; Bowen, K. H. (Department of Chemistry, Johns Hopkins University, Baltimore, MD 21218, USA). Chem. Phys. Lett., 305(1,2), 75-78 (English) 1999

We report the observation of magic nos. in the mass spectrum of Aln+(H<sub>2</sub>O)1. These cluster cations were produced in a laser vaporization source in the presence of trace amts. of water. The most prominent magic no. species obsd. was Al13+(H<sub>2</sub>O)1.

We attribute its pronounced intensity to its enhanced stability resulting from the formation of a coordinate bo between the Al13+ moiety and the oxygen atom of water. The sharing of an oxygen lone electron pair with Al13+ lends to it some of the character of the 40-valence electron, closed shell Al13- magic cluster.

~~HSe5O8~~

HSe<sub>5</sub>O<sub>8</sub>

2001

F:HAL508

P:1 02.20-19Б3.52. Фазовая стабильность и структура переходных глиноземов на шпинели. Phase stability and structure of spinel-based transition alumina Wolverton C., Hass K. C. // Phys. Rev. B : Third Series. - 2001. - 63, N С. 024102/1-024102/16. - Англ.

На основе вычислений полной энергии из первых принципов исследованы структуры фазовая стабильность переходных глиноземов ('гамма', 'дельта', 'эта') на основе шпинели в присутствии и в отсутствие водорода. В отсутствие H обнаружено, что вакансии в октаэдрических узлах энергетически преимущественны катионы Al преобладают в тетраэдрических позициях), и существует сильная тенденция к упорядочению вакансий Al. В случае включения водорода в структуру сильна тенденция к упорядочению катионных вакансий исчезает и энергетически предпочтительны "кластеры" из ближайших друг к другу вакансий,

Al<sub>1</sub>[5]O<sub>8</sub> (структурный кандидат для 'гамма'-Al<sub>2</sub>O<sub>3</sub>) термодинамически нестабилен отношении распада на безводную дефектную шпинель и 'гамма'-AlOOH. Температурный интервал превращения 'гамма'-AlOOH в 'гамма'-Al<sub>2</sub>O<sub>3</sub>, вычисленный из первых принципов энергетики и измеренных термохимич. данны H<sub>2</sub>O, прекрасно согласуется с наблюдаемыми температурами превращения. Указывается на возможность применения полученных результатов к пористой микроструктуре переходных глиноземов. Библ. 82.

Аллоун

2001

①

F: гамма-Al<sub>2</sub>O<sub>3</sub>

$\gamma$ -Al<sub>2</sub>O<sub>3</sub> ( $T_{tr}$ )

P: 1 02.20-19Б3.52. Фазовая стабильность и структура переходных глиноземов на шпинели. Phase stability and structure of spinel-based transition alumina Wolverton C., Hass K. C. // Phys. Rev. B : Third Series. - 2001. - 63, N С. 024102/1-024102/16. - Англ.

На основе вычислений полной энергии из первых принципов исследованы структуры фазовая стабильность переходных глиноземов ('гамма', 'дельта', 'эта') на основе шпинели в присутствии и в отсутствие водорода. В отсутствие H обнаружено, что вакансии в октаэдрических узлах энергетически преимущественны катионы Al преобладают в тетраэдрических позициях), и существует сильная тенденция к упорядочению вакансий Al. В случае включения водорода в структуру сильная тенденция к упорядочению катионных вакансий исчезает и энергетически предпочтительны "кластеры" из ближайших друг к другу вакансий,  $HAL[5]O[8]$ .

(структурный кандидат для 'гамма'- $\text{Al}_2\text{O}_3$ ) термодинамически нестабилен отношении распада на безводную дефектную шпинель и 'гамма'- $\text{AlOOH}$ . Температурный интервал превращения 'гамма'- $\text{AlOOH}$  в 'гамма'- $\text{Al}_2\text{O}_3$ , вычисленный из первых принципов энергетики и измеренных термохимич. данны  $\text{H}_2\text{O}$ , прекрасно согласуется с наблюдаемыми температурами превращения. Указывается на возможность применения полученных результатов к пористой микроструктуре переходных глиноземов. Библ. 82.

~~ALOK~~

(on 41468)

2002

~~DÖLK~~

~~DALOK~~

Cotos P.Y.,

y. Mol. Struct (Theocrem)  
2002, 581, 17-29

ASFA

Al-H-O

$\text{MgAl}_2\text{O}_4$

$\text{Mg}_3\text{Al}_2\text{O}_9$

42329

2005

Анчуковская О.В., Короткова Е.Н., Маслов А.В.  
Гусаров В.В.

Получение макрокристаллов  $\alpha\text{-Al}_2\text{O}_3$   
в гидротермальных условиях. (21ХС, а-п.)  
"Металлург.", 2005, №5, 540-542